# CENTRO UNIVERSITÁRIO ASSIS GURGACZ - FAG ALEXANDRE MAICON BARBOSA

ANÁLISE DA PERDA DE CARGA NA REDE DE VAPOR QUE ABASTECE A INDÚSTRIA ALIMENTÍCIA DA UNIDADE FABRIL TOLEDO

# ALEXANDRE MAICON BARBOSA

# ANÁLISE DA PERDA DE CARGA NA REDE DE VAPOR QUE ABASTECE A INDÚSTRIA ALIMENTÍCIA DA UNIDADE FABRIL TOLEDO

Trabalho desenvolvido para a disciplina de Orientação e Metodologia Científica para Trabalho de Conclusão de Curso II, do Curso de Engenharia Mecânica, do Centro Universitário da Fundação Assis Gurgacz, como requisito parcial da conclusão da disciplina.

Professor Orientador: Me. Eliseu Avelino Zanella Júnior

# CENTRO UNIVERSITÁRIO ASSIS GURGACZ ALEXANDRE MAICON BARBOSA

# ANÁLISE DA PERDA DE CARGA NA REDE DE VAPOR QUE ABASTECE A INDÚSTRIA ALIMENTÍCIA(EMPANADOS) DA UNIDADE FABRIL TOLEDO

Trabalho apresentado no Curso de Engenharia Mecânica, do Centro Universitário Assis Gurgaez, como requisito pareial para obtenção do título de Bacharel em Engenharia Mecânica, sob a orientação do Professor Me. Eliseu Avelino Zanella Júnior.

Professor Orientador Fliscu Avelino Zanella Júnior

Centro Universitário Assis Gurgaez

Mestre

Sérgio Honrique Rodriguês Mota

Centro Universitário Assis Gurgaez

Mestre

Professor Avaliador Roberson Roberto Parizotto

Centro Universitário Assis Gurgaez

Mestre

Cascavel/PR., 29 de Novembro, 2016.

# **DEDICATÓRIA**

Dedico este trabalho a minha família, pelo amor percebido, pela compreensão e principalmente pela grande paciência, todos da minha família foram às fontes de minha inspiração e motivação.

#### **AGRADECIMENTOS**

É não foi fácil, mais estamos aqui juntos para lhes mostrar o resultado de cinco anos de muita luta e muita dedicação, é por tudo isso que passamos que aqui nesse trabalho quero deixar registrado o meu grande agradecimento a todos que me apoiaram desde o princípio.

Primeiramente agradeço a Deus, pela força divina em minha vida por ter grande disposição e força de vontade para vencer todos os obstáculos encontrados ao decorrer deste percurso.

Eu Alexandre Maicon Barbosa agradeço a minha base, minha família, meus pais, Jesus de Oliveira Barbosa e Shirley Aparecida Barbosa, sempre foi e sempre será uma fonte de força para continuar na luta em rumo ao título almejado de Engenheiro Mecânico. Agradeço minha namorada (Eliane Cristina de Moraes) por ser uma pessoa muito importante na minha vida, pois foi uma fonte de inspiração para cada dia eu lutar por essa conquista e sempre me motivou por isso, mesmo nos momentos mais difíceis emocionalmente e também financeiramente, e pelo grande fato de sempre estar ao meu lado nas decisões tomadas. Aos meus colegas de trabalhos que me trouxeram ensinamentos. A todos os professores que contribuíram para minha formação, em especial aos que consideramos amigos mais próximos que são os professores: Carlos Eduardo Goulart Ferreira, Carlos Alberto Breda, Geovane Duart Pinheiro, Roberson Roberto Parizoto, e aos nossos amigos que participaram dessa luta de grande cinco anos.

Por fim, não menos importante ao meu orientador, Professor Me. Eliseu Avelino Zanella Júnior, capaz dispor de uma grande orientação. A sua enorme capacidade acadêmica, à pesquisa compôs uma somatória fundamental não só para a construção deste projeto, mas com a maturidade de toda uma vida repleta de experiências boas e ruins transmitidas e repassadas durante a graduação, antes de tudo, este momento se dedica a este grande mestre por tão grande seu conhecimento.

Por fim um muito obrigado a todos.

		ésima tentativa eu consegui, nunc	
desista de seus objetivos me	esmo que esses pareça	m impossíveis, a próxima tentativ pode ser a vitoriosa	
Albert Einstein		pode sei a vitoriosa	•

**RESUMO** 

O uso de vapor de água como vetor de transporte de energia térmica traz grandes

vantagens, que explicam sua grande disseminação, pois a água é uma substância

facilmente disponível, pouco agressiva quimicamente e com grande capacidade de

transportar energia. Com o grande crescimento e da necessidade de melhor

aproveitamento da energia nos processos industriais, visando a redução dos custos

envolvidos na produção e uma diminuição do impacto ambiental causados pela geração

da energia utilizada, vários são os fatores que podem ser atacados para que este desejo

seja alcançado. O estudo apresenta uma análise de uma tubulação de vapor saturado,

evidenciando suas perdas de carga consequente de sua grande extensão, perdas pelas

singularidades e também do fluxo de calor perdido pelo isolamento térmico, este vapor é

necessário para a utilização em uma indústria de fábrica de Empanados, a tubulação

analisada tem pressão de 12 kgf/cm² com diâmetro de 6". A tubulação atualmente

apresenta uma perda de carga de 1,5 kgf/cm<sup>2</sup>, ou seja, representa uma deficiência de

12,5% da pressão de operação estipulada pelo próprio manual da caldeira.

PALAVRAS-CHAVE: Caldeira; Purgadores; Tubulação

**ABSTRACT** 

The use of water vapor as thermal energy transport vector has great advantages,

which explains its great spread, since water is a substance easily available, some

chemically aggressive and with great capacity to transport energy. With the great growth

and the need for better use of energy in industrial processes, in order to reduce the costs

involved in production and a reduction of the environmental impact caused by the

generation of energy used, there are several factors that can be attacked for this desire is

Reached. The study presents an analysis of a saturated vapor pipe, showing their

consequent load losses of its extension, losses due to singularities and also the flow of

heat lost by the heat insulation, the vapor is required for use in a factory industry breaded,

the pipe has analyzed pressure of 12 kgf / cm<sup>2</sup> with 6 "diameter. The pipeline currently

has a pressure loss of 1.5 kgf / cm<sup>2</sup>, or represents a 12.5% deficiency of the operating

pressure set by the manual boiler itself.

**KEY-WORDS:** Boiler; Traps; Pipe

# LISTA DE FIGURAS

Figura 1: Exemplo de Transferência de Calor por Condução	. 24
Figura 2: Exemplo de Transferência de Calor dentro de uma Chaleira	. 28
Figura 3: Caldeira Flamotubular Vertical	. 32
Figura 4: Caldeira do Tipo Cornuália	. 33
Figura 5: Caldeira do Tipo Lancaster	. 34
Figura 6: Caldeira do Tipo Aquotubular Vertical	. 35
Figura 7: Purgador Termodinâmico de Fluxo Simples	. 39
Figura 8: Purgador Termodinâmico de Fluxo Distribuído com Filtro Incorporado	. 40
Figura 9: Purgador Termodinâmico de Base e Disco Incorporado	. 40
Figura 10: Purgador do Tipo Bóia	. 41
Figura 11: Purgador do Tipo Balde Invertido	. 42
Figura 12: Purgador do Tipo Balde Invertido	. 42
Figura 13: Purgador Termostático de Pressão Balanceada	. 43
Figura 14: Purgador do Tipo Bimetálico	. 44
Figura 15: Purgador Eletrônico	. 45
Figura 16: Medidor de Vazão Vortex	. 60
Figura 17: Placa de Identificação da Caldeira	. 61
Figura 18: Temperatura do Isolamento Medido	. 66
Figura 19: Medidor de Temperatura do Tipo Infravermelho	67

# LISTA DE TABELAS

Tabela 1: Calor Específico de Materiais	20
Tabela 2: Tabela de Poder Calorífico de Materiais	22
Tabela 3: Tabela de Poder Calorífico de outros Materiais	22
Tabela 4: Condutividade Térmica do Material	26
Tabela 5: Condutividade Térmica do Material	26
Tabela 6: Valor do Coeficiente de Transferência de Calor por Convecção	29
Tabela 7: Condutibilidade Térmica de Materiais	48
Tabela 8: Gráfico de Moody-Roose	55
Tabela 9: Interpolação da Densidade	62
Tabela 10:    Interpolação da Viscosidade Cinemática	62
Tabela 11: Cálculo da Perda de Produção de Vapor/h	
Tabela 12: Perda de Carga em Reais	65
Tabela 13: Cálculo da Perda Anual de Vapor	66
Tabela 14: Interpolação do Número de Prandtl	68
Tabela 15: Interpolação da Viscosidade Cinemática	68
Tabela 16: Cálculo da Perda pelo Isolamento em Reais	70
Tabela 17: Cálculo da Perda pelo Isolamento em Reais/ano	70
Tabela 18: Gráfico de escolha de Vazão de Purgadores	71
Tabela 19: Cálculo da Perda em Reais do Purgador	71
Tabela 20: Perda do Purgador em Reais/ano	72
Tabela 21: Somatório das Perdas em Reais/ano	72
Tabela 22: Cálculo da Perda de Produção de Vapor/h após a Substituição	73
Tabela 23: Perda de Carga em Reais após Substituição	74
Tabela 24: Cálculo da Perda Anual de Vapor após Substituição	74

# LISTA DE EQUAÇÕES

Equação 1: Equação de Transferência de Calor por Condução	25
Equação 2: Equação de Transferência de Calor por Conveção	27
Equação 3: Equação de Transferência de Calor por Radiação	30
Equação 4: Taxa total de Transferência de Calor	30
Equação 5: Equação do Rendimento de Maneira Geral	49
Equação 6: Equação Eficiência pelo Método Direto	49
Equação 7: Equação Eficiência pelo Método Indireto	50
Equação 8: Equação da Perda por Radiação e Convecção	50
Equação 9: Equação de Perdas pela Chaminé	51
Equação 10: Equação de Perdas Associadas as Cinzas	51
Equação 11: Perdas Associadas ao Combustível	52
Equação 12: Equação de Perdas por Purgas	52
Equação 13: Equação da Área	53
Equação 14: Equação da Vazão	54
Equação 15: Equação de Reynolds	54
Equação 16: Equação da Rugosidade Relativa	54
Equação 17: Equação da Perda de Carga Tubulação Reta	56
Equação 18: Equação da Perda de Carga nas Curvas de 90º	56
Equação 19: Equação da Perda de Carga nas Curvas de 45º	56
Equação 20: Equação da Perda de Carga Total em toda a Seção da Rede	56
Equação 21: Cálculo do Fluxo de Calor por Convecção	57
Equação 22: Equação da Temperatura de Filme	57
Equação 23: Equação do Coeficiente de Expansão Volumétrica	57
Equação 24: Equação de Grashof	57
Equação 25: Equação de Rayleigh	58
Equação 26: Equação de Nusselt	58
Equação 27: Equação do coeficiente de Película	58
Equação 28: Equação de Perdas por Purgadores	59

# **SUMÁRIO**

1 INTRODUÇÃO	15
1 OBJETIVOS	15
1.1 Objetivo Geral	15
1.1.2 Objetivos Específicos	15
1.2 JUSTIFICATIVA	16
1.3 CARACTERIZAÇÃO DO PROBLEMA	17
1.4 DELIMITAÇÃO DA PESQUISA	17
2 REVISÃO BIBLIOGRÁFICA	18
2.1 CONCEITOS DE TERMODINÂMICA	19
2.2 DEFINIÇÃO DE CALOR E TEMPERATURA	19
2.2.1 Calor Específico	20
2.2.2 Calor Sensível	20
2.2.3 Calor Latente	21
2.2.4 Poder Calorífico	21
2.3 MÉTODOS DE TRANSFERÊNCIA DE CALOR	23
2.3.1 Transferência de Calor por Condução	23
2.3.1.1 Condutividade Térmica do Material	25
2.3.2 Transferência de Calor por Convecção	27
2.3.2.1 Convecção Forçada	28
2.3.2.2 Convecção Natural	28
2.3.2.3 Coeficiente de Trasnferência de Calor por Convecção	29
2.3.3 Transferência de Calor por Radiação.	29
2.4 TIPOS DE CALDEIRAS	30
2.4.1 CALDEIRA FLAMOTUBULAR	30
2.4.1.1 Caldeira Vertical	31
2.4.1.2 Caldeira Horizontal	32
2.4.1.3 Caldeira Cornuália	32
2.4.1.4 Caldeira Lancaster.	33
2.4.2 CALDEIRAS AQUOTUBULAR	34
2.5 RUGOSIDADE	35
2.5.1 Classificação das Perdas de Carga	36

2.5.1.1 Perda de Carga Distribuída	. 36
2.5.1.2 Perda de Carga Locais ou Singularidades	. 36
2.6 PERDAS DE CARGAS EM TUBULAÇÕES	.36
2.7 PURGADORES	. 38
2.8 TIPOS DE PURGADORES	. 39
2.8.1 Purgadores Termodinâmicos	. 39
2.8.1.1 Purgador Termodinâmico (Fluxo Simples)	. 39
2.8.1.2 Purgador Termodinâmico de Fluxo distribuído com Filtro Incorporado	. 39
2.8.2 Purgadores Tipo Bóia	. 41
2.8.3 Purgador de Balde Invertido	42
2.8.4 Purgadores Termostáticos	43
2.8.4.1 Purgador Termostático de Pressão Balanceada	43
2.8.4.2 Purgador Termostático Bimetálico	. 44
2.8.5 Purgador Eletrônico	45
2.9 DIMENSIONAMENTO DE PURGADORES	. 46
2.10 ISOLAMENTO TÉRMICO	46
2.11 DIMENSIONAMENTO DAS PERDAS NOS GERADORES DE VAPOR	49
2.11.1 Análise Pelo Método Direto	. 49
2.11.2 Análise Pelo Método Indireto	. 50
2.11.2.1 Perdas por Radiação e Convecção	. 50
2.11.2.1.2 Perdas devido aos Gases Secos no Chaminé	. 51
2.11.2.1.3 Perdas associadas à Temperatura das Cinzas	. 51
2.11.2.1.4 Perdas associadas ao Combustível não convertido presente nas Cinzas	.51
2.11.2.1.5 Perdas por Purgas	. 52
3 METODOLOGIA	53
3.1 MATERIAIS	53
3.2 MÉTODOS	. 53
3.2.1 Dimensionamento das perdas na Tubulação do Vapor Fornecido	. 53
3.2.2 Perda de carga na secção de Tubulação Reta	. 56
3.2.3 Perda de carga nas Curvas de 45° e 90°	. 56
3.2.4 Perdas de Carga Total das Seções Retas e Singularidades	. 56
3.2.5 Cálculo da perda do Fluxo de Calor pelo Isolamento Térmico	. 57
3.2.6 Perdas por Purgadores	. 58

4 RESULTADOS E DISCUSSÕES	
5 CONSIDERAÇÕES FINAIS	. 75
6 SUGESTÕES PARA TRABALHOS FUTUROS	. 76
7 REFERÊNCIAS BIBLIOGRÁFICAS	. 77
ANEXOS	. 79
Anexo1: Purgador Termodinâmico de Fluxo Distribuído com Filtro Incorporado	. 79
Anexo 2: Purgador Termodinâmico de Fluxo Distribuído com Filtro Incorporado	. 80
Anexo 3: Medidor de Vazão Vortex	. 81
Anexo 4: Purgador do Tipo Balde Invertido Série 800-813, Armstrong	82
Anexo 5: Purgador Termodinamico Modelo CD-33, Armstrong	. 83
Anexo 6: Tabela de Tubos Schedule 40	. 84
Anexo 7: Termômetro Digital Infravermelho	85
Anexo 8: Tabela de Propriedades da Água em Função da Temperatura	. 86
Anexo 9: Tabela de Propriedades da Água em função da Temperatura	. 87
Anexo 10: Tabela de Propriedades da Água em função da Pressão	. 88
Anexo 11: Tabela de Propriedades da Água em função da Pressão	. 89
Anexo 12: Tabela da Propriedades do Ar	90
Anexo 13: Tabela de Propriedades do Vapor d'água	. 91
Anexo 14: Tabela de Propriedades do Vapor d'água	92
Anexo 15: Tabela de Conversão de Unidades	93
Anexo 16: Tabela de Conversão de Unidades	. 94

# 1 INTRODUÇÃO

A utilização de calor a temperaturas relativamente baixas em diversos setores industriais é essencial nos principais processos de fabricação, como desidratação de produtos, secagem, cozimento, produção de reações químicas e esterilização microbiológica. Isto se refere as indústrias de alimentos e bebidas, papel e celulose, têxtil, química, farmacêutica e de boa parte das agroindústrias.

Sua ausência, sem o aporte de energia térmica em quantidades generosas e com alta qualidade não existiria a sociedade moderna, com seu padrão de vida e seus altos níveis de consumo de bens e serviços. De um modo quase absoluto, estes fluxos de calor são conseguidos a partir de sistemas de vapor. O uso de vapor de água como vetor de transporte de energia térmica traz grandes vantagens, que explicam sua grande disseminação, pois a água é uma substância facilmente disponível, pouco agressiva quimicamente e com grande capacidade de transportar energia (NOGUEIRA, 2005).

Podem existir várias formas de aplicações de uso final para o vapor, incluindo aplicações em processos de aquecimento, movimentação mecânica, produção de reações químicas, limpeza e esterilização. Os equipamentos mais comuns de sistema de uso final de vapor são: trocadores de calor, turbinas, torres de fracionamento e tanques de reação química (ROCHA, *et al* 2005).

#### 1 OBJETIVOS

### 1.1 Objetivo Geral

Este trabalho tem por objetivo analisar a perda de carga em uma rede de vapor, de uma indústria alimentícia da cidade de Toledo-Paraná.

# 1.1.2 Objetivos Específicos

- Determinar a perda de carga da tubulação de vapor devido a longa distância e suas conexões presentes na rede até o local de consumo (fábrica de empanados);
- Determinar o fluxo de calor perdido através do isolamento térmico da tubulação;
- Determinar as perdas financeira.

#### 1.2 JUSTIFICATIVA

Diante de um grande crescimento e de uma necessidade de melhor aproveitamento da energia nos processos industriais, visando a redução dos custos envolvidos na produção e uma diminuição do impacto ambiental causados pela geração da energia utilizada, vários são os fatores que podem ser atacados para que este desejo seja alcançado.

Pode-se presumir que ocorrem grandes perdas de carga e de calor, durante o deslocamento do vapor da caldeira até a planta, que se encontra a uma distância considerável, assim consequentemente necessitando de uma maior quantidade de combustível consumida pela caldeira, para poder compensar as perdas que a tubulação ocasiona ao sistema (MICHELS, *et al* 2013).

Devido ao intenso uso de combustíveis para produção de energia térmica em geradores de vapor, é normal que ocorram diversas perdas nestes processos. No entanto, estas perdas podem ser reduzidas, potencializando-se a transferência de energia pelos combustíveis para o processo por meio do vapor, analisando-se ponto a ponto o processo através da verificação da eficiência térmica do sistema, diagnosticando os principais pontos de perdas (AGUIAR, 2014).

Segundo Marques, *et al* (2006), a eficiência dos geradores de vapor é nada mais que a relação entre o calor útil fornecido ao processo pelo combustível, sendo esta eficiência calculada de duas maneiras distintas, através do método direto e o indireto. O método direto avalia de maneira direta a quantidade de energia produzida na forma de vapor pela quantidade de energia fornecida pelo combustível, estabelecendo uma relação única de eficiência.

Já no método indireto se utiliza a análise das principais perdas do gerador para obter o valor da eficiência. Neste método utiliza-se as perdas pela chaminé, por radiação e convecção, por purgas, associadas à temperatura das cinzas e também do combustível não convertido presente nas cinzas, sendo assim, possibilitando a identificação dos principais pontos de perda, os quais devem receber maior atenção nas instalações, afim de, reduzir ao mínimo as perdas.

Este trabalho tem por objetivo a análise e dimensionamento da tubulação responsável pelo transporte de vapor de uma caldeira até a planta da indústria de empanados, que irá consumi-la em seus processos produtivos. Entende-se que o estudo e

sua eventual aplicação de possível instalação de uma mini caldeira poderá gerar ganhos produtividade na geração de vapor, consequentemente, redução dos custos e emissões de poluentes gerados devido ao menor consumo de combustível pela caldeira.

Foi realizado um levantamento pela CNI (CONFEDERAÇÃO NACIONAL DA INDÚSTRIA, ELETROBRÁS e PROCEL INDÚSTRIA, 2009), em 13 setores industriais, no qual, apontou 82% das oportunidades de economia de energia estão nos processos, podemos verificar a importância de uma regulagem correta e da avaliação das perdas nos sistemas de geração de vapor.

Partindo deste pressuposto pode-se identificar uma oportunidade de melhoria obtido pela análise da perda de carga na tubulação usada no transporte de vapor entre a caldeira e a planta de uma indústria de empanados de Toledo -Paraná.

# 1.3 CARACTERIZAÇÃO DO PROBLEMA

A distância da tubulação de vapor de 815 metros entre a fonte geradora até o local de consumo, gera perdas e custo para a empresa?

# 1.4 DELIMITAÇÃO DA PESQUISA

Durante a análise obtivemos grande dificuldade em entender o funcionamento da distribuição do vapor na unidade de Toledo-Paraná. Pois são quatro unidades de caldeiras que produzem o vapor saturado, cada uma possuindo características específicas, como exemplo: temperatura de entrada da água nos tubulões, temperatura dos gases de saída da chaminé, vazão de vapor, em fim várias características que cada unidade tem de parâmetro para o seu funcionamento. Algumas possuem o sistema do retorno de condensado, em outras possuem o sistema de pré-aquecimento da água, assim necessitando de medições e inspeções especificas em determinados pontos a pontos, onde que demandaria de mão-de-obra terceirizada para a execução das medições para o estudo das perdas anterior do sistema do coletor de vapor, neste caso as caldeiras.

O processo de distribuição consiste em um coletor de vapor, onde este não pode se obter o volume interno, dificultando a análise de todo o processo como um todo. Devido a estes empecilhos, o estudo irá contemplar a parcela das perdas a partir do sistema de coletor do vapor até o local de consumo.

# 2 REVISÃO BIBLIOGRÁFICA

Inserindo calor à água conseguimos variar a sua entalpia (quantidade de energia por kg de massa) e seu estado físico. A medida que vamos aquecermos a água, mais aumentaremos sua temperatura e, consequentemente, sua densidade diminuirá, tornando-a mais "leve". A partir deste calor adicionado ao líquido, suas moléculas vão adquirindo energia até conseguirem vencer às forças que as mantém ligadas (na forma líquida). A rapidez da formação do vapor será tal qual for a intensidade do calor fornecido. A pureza da água e a pressão absoluta exercida sobre ela são os fatores que irão impor a temperatura na qual se produz a ebulição, assim, quanto menor for a pressão, menor será a temperatura de ebulição da água (ZANELLA JUNIOR, 2013).

Quando cedermos calor para a água, sua temperatura aumenta até atingir um determinado valor. A partir de certa temperatura, a água não tem mais como se manter no estado líquido. Isto corresponde ao ponto de ebulição, ou seja, qualquer aumento de calor fará com que parte desta água ferva se transformando em vapor. De modo simples, podese dizer que vapor nada mais é que a união do elemento químico água com o elemento físico energia ou calor (SARCO, 2005).

Segundo Russel (1994), a energia necessária para mudança de estado físico de um líquido, está diretamente ligado a duas variáveis principais, sendo temperatura e pressão. Quanto maior for à temperatura do líquido, maior será a energia utilizada para a mudança de estado físico, no entanto a pressão age ao contrário a temperatura no processo de mudança de estado físico. Sendo que, a uma maior pressão, ocorrerá um aumento nas forças intermoleculares do líquido, provocando a necessidade de maior quantidade de energia para mudança de seu estado físico, tendo como consequência a liberação de maior energia na mudança de estado físico inverso, ou seja, na passagem do estado gasoso para o líquido.

Os geradores de vapor ou caldeiras pode ser definido como equipamentos destinados a produzir e acumular vapor sob pressão superior a atmosférica. Sendo assim, a água vaporizada a temperaturas superiores à temperatura de vaporização a pressão atmosférica, apresenta consequentemente maior armazenagem de energia em menores quantidades de massa de água, possibilitando maior eficiência no transporte e transferência de calor a diferentes usos que utilizam energia térmica em seus processos (MARQUES, *et al* 2006).

Com todos os aperfeiçoamentos e as intensificações de mudança da produção industrial, a caldeira ocupa um papel muito importante pois, fornece vapor a muitas atividades dentro do setor, não só para movimentar máquinas mas também para limpeza, aquecimento, e participação direta no processo produtivo, como matéria-prima. Assim como as indústrias, outras empresas também a utilizam, cada vez mais vapor gerado pelas caldeiras, como por exemplo: restaurantes, hotéis, hospitais, frigoríficos, motéis, indústrias têxteis (ZANELLA JUNIOR, 2013).

Caldeira nada mais é que, um trocador de calor, trabalhando com pressão superior à pressão atmosférica, produz vapor, a partir da energia térmica fornecida por uma fonte qualquer, as mais comuns são as de cavaco de madeira e lenha. É constituída por diversos equipamentos integrados, para permitir a obtenção do maior rendimento térmico possível e maior segurança (ZANELLA JUNIOR, 2013).

Geradores de vapor de grande proporção são constituídos de uma série de componentes, de maneira a constituírem um aparelho bastante complexo, principalmente quando destinados a queima de combustível sólidos que incluem super-aquecedores, economizadores, pré-aquecedores de ar, captadores de fuligem, extratores mecânicos de cinza, dentre outros. Nos equipamentos de unidades menores destinadas a gerar vapor em pequenas e médias indústrias dispensam quase a totalidade dos componentes citados anteriormente (ZANELLA JUNIOR, 2013).

#### 2.1 CONCEITOS DE TERMODINÂMICA

A Termodinâmica é uma área da física que trata da relação entre o calor e as diversas formas de energia. Esta energia pode ser transferida através das interações entre o sistema e as suas proximidades.

# 2.2 DEFINIÇÃO DE CALOR E TEMPERATURA

Segundo (VIANA, *et al* 2012), podemos dizer que a temperatura de um corpo é dada pela energia cinética média de suas moléculas. Dizendo em outra maneira Temperatura é a grandeza física associada ao estado de movimento ou à agitação das partículas que constitui os corpos. Calor é definido como sendo energia térmica em

trânsito e que flui de um corpo para outro em razão da diferença de temperatura existente entre eles.

# 2.2.1 Calor Específico

Definido pela quantidade de calor necessário fornecer à unidade de massa de uma substância para elevar a sua temperatura em um grau (1°C), se expressa em calorias por grama e por grau. Isso se reflete na capacidade de um determinado corpo de receber ou rejeitar calor, ou melhor, é a característica de cada material no que diz respeito a sua capacidade de absorver ou rejeitar calor, (VIANA, *et al* 2012).

A Tabela 1 demonstra o calor específico de algumas substâncias.

Calor específico de algumas substâncias		
SUBSTÂNCIA	CALOR ESPECÍFICO (cal/g °C)	
Água	1,00	
Álcool	0,6	
Carbono	0,12	
Hidrogêneo	3,4	
Madeira	0,42	

**Tabela 1:** Calor Específico de Materiais

(Fonte: Eficiência Energética Fundamentos e aplicações, 2012)

## 2.2.2 Calor Sensível

Segundo (VIANA, *et al* 2012), define a quantidade de calor que uma unidade de massa precisa perder ou ganhar afim de que aconteça uma redução ou elevação de uma unidade de temperatura, no entanto sem alterar sua estrutura. Dessa maneira, se o corpo é sólido, continua sólido, se é líquido continua líquido e, se é gasoso, continua gasoso. É dito sensível, pois seu efeito pode ser "sentido".

#### 2.2.3 Calor Latente

Ao contrário do calor sensível, é aquele que é removido ou adicionado a um corpo sem causar mudança de temperatura, mas causando mudança de fase, quer dizer, é a grandeza física que estabelece a quantidade de calor que uma unidade de massa de determinada substância deve receber para mudar de estado físico mantendo a temperatura constante.

#### 2.2.4 Poder Calorífico

O poder calorífico corresponde a quantidade de calor liberado na combustão de uma unidade de massa de um combustível, podendo ainda ser classificado como inferior e superior. O poder calorífico mostra que tipo de substância pode liberar maior quantidade de energia (calor) durante sua combustão. Esse processo de combustão não é necessariamente a aplicação de fogo, também pode ser a dissociação química no processo de calor latente (mudança de estado físico de determinado material).

Para conseguir o poder calorífico superior e inferior, deve-se entender que, no processo de vaporização da água, a temperatura permanece constante até que toda a água seja transformada em vapor. No começo dessa formação, a razão entre a massa de vapor e a massa total da mistura é igual a zero, pois ainda não há massa de vapor formado. Essa razão varia gradualmente de zero até um. Assim que toda a água é transformada em vapor, a razão entre a massa de vapor e a massa total da mistura será igual a um, dando origem ao vapor saturado.

No cálculo do poder calorífico superior, inclui-se a energia que pode ser aproveitada do combustível por meio do calor latente de vaporização da água. No cálculo do poder calorífico inferior, a massa de água do calor latente de vaporização é desconsiderada, resultando em um valor realista do calor disponível após o processo de combustão (VIANA, *et al* 2012).

As Tabela 2 e 3, demonstra alguns desses valores dos combustíveis.

Tabela 2: Tabela de Poder Calorífico de Materiais

Energético		Poder Calo- rífico Infe- rior (BEESP) kcal/kg	Poder Calorí- fico Superior (BEN) kcal/kg	Massa Específica kg/m³
Óleo diesel		42613	45000	851
Óleo combustível		39964	45627	999
Gasolina		44187	47009	738
GLP		46155	49186	552
Querosene		43518	46423	787
Coque carvão mineral		28883	30558	-
Lixívia		-	12684	2100
Carvão vegetal		25597	28465	250
Álcool anidro		26790	29679	791
Álcool hidratado		24907	27837	809
Lenha [	1]	10591	13814	390
Bagaço de cana [	2]	7439	9448	-
Gás de refinaria [	3]	34627	36837	780
Gás natural [	3]	35807	39348	-
Gás canalizado [	3]	17707	19674	-
Gás Coqueria [	3]	18418	18837	-
(1) Lenha com 25% de umidade, (2) Bagaço com 50% de umidade, (3) kcal/m³ $$				

(Fonte: Eficiência Energética Fundamentos e aplicações, 2012)

Tabela 3: Tabela de Poder Calorífico de outros Materiais

Poder calorífico de alguns outros combustíveis também na unidade kJ			
COMBUSTÍVEL	PODER CALORÍFICO	PC (kJ)	
Álcool de cana	5500 kcal/l	23012	
Bagaço de cana (50% água)	3200 kcal/kg	13388	
Bagaço de cana (20% água)	18000 kcal/kg	75312	
Bambu (10% água)	3700 kcal/kg	15480	
Carvão vegetal	7500 kcal/kg	31380	
Casca de árvore	2200 kcal/kg	9204	
Gás de biodigestor (biogás)	5000 kcal/kg <sup>3</sup>	20920	
Gás de coqueira	4300 kcal/kg <sup>3</sup>	17991	
Gás de gasogênio	1260 kcal/kg³	5271	
Gás GLP (50%)	10800 kcal/kg	45187	
Gás natural	8600 kcal/kg <sup>3</sup>	35982	
Lascas de madeira	3300 kcal/kg	13807	
Lenha (40% água)	2400 kcal/kg	10041	
Madeira de caixotes	3800 kcal/kg	15899	
Óleo combustível 1A	9800 kcal/kg	41003	
Óleo de soja	8125 kcal/l	33995	
Óleo diesel	8620 kcal/l	36066	

(Fonte: Eficiência Energética Fundamentos e aplicações, 2012)

# 2.3 MÉTODOS DE TRANSFERÊNCIA DE CALOR

É o processo pelo qual a energia é transferida, conhecido como transferência de calor. O ramo que trata da relação entre o calor e as outras formas de energia é a termodinâmica (KREITH, *et al* 1992).

No processo de análise termodinâmica, se preocupa com a quantidade de calor transferido quando um sistema passa de um estado de equilíbrio para outro sem fazer nenhuma referência quanto ao tempo terá de duração este processo. Esta ciência se preocupa com a determinação das taxas de tais transferências de energia é a transferência de calor (ÇENGEL, *et al* 2011).

Segundo (ÇENGEL, *et al* 2011), a transferência de energia como calor é sempre do meio de maior temperatura para o de menor temperatura e termina quando os dois meios atingem a mesma temperatura. Define o calor sendo energia térmica em trânsito, que flui de um corpo para outro em consequencia da diferença de temperatura existente entre eles. A seguir, serão abordadas algumas formas do calor fluir de um corpo a outro.

O calor pode ser transferido de três diferentes modos: condução, convecção e radiação. Todos os modos de transferência de calor exigem a existência de uma diferença de temperatura e todos ocorrem da maior para a menor temperatura.

As leis da termodinâmica estabelecem o ambiente de trabalho na ciência da tranferência de calor, primeira e segunda lei. A primeira lei determina que a taxa de transferência de energia deve ser igual à taxa de crescimento da sua energia, a segunda lei estabelece que o calor deve ser transferido na direcao da menor temperatura (ÇENGEL, *et al* 2011).

# 2.3.1 Transferência de Calor por Condução

Para (ÇENGEL, *et al* 2011) o calor é definido como o processo pelo qual a energia é transferida de uma região de alta temperatura para outra de temperatura mais baixa dentro de um meio (sólido, líquido ou gasoso) ou entre meios diferentes em contato, ou seja, é a transferência de energia das partículas mais energéticas de uma substância para as vizinhas menos energéticas como resultado da interação entre elas.

Em líquidos e gases, a condução deve-se as colisões e difusão das moléculas em seus movimentos aleatórios. Nos sólidos é devido a combinação das vibrações das moléculas em uma rede e a energia é transportada por elétrons livres.

Ainda (ÇENGEL, et al 2011) diz que a taxa de condução de calor através de um meio depende da sua forma, de sua espessura, do meio, ou seja, do tipo de material e da diferença de temperatura a que o meio está submetido. Um exemplo bem tipico é um tanque de água quente envolvido com lã de vidro (material térmico), este isolamento diminui sua taxa de perda de calor, quanto maior for isolamento térmico menor será a perda de calor, conjuntamente com a condutividade térmica do material.

Esse tipo de transferência ocorre, por exemplo, quando alguém segura uma barra de ferro no fogo. Logo a pessoa que está segurando a barra notará o aumento de temperatura, figura 1.



Figura 1: Exemplo de Transferência de Calor por Condução

(Fonte: Manual Elektro de Eficiência Energética)

Experimentos têm mostrado que a taxa de transferência de calor Q através da parede é dobrada quando a diferença de temperatura( $\Delta T$ ) ou a área (A) normal a direção da transferência de calor é dobrada, mas é reduzida a metade quando a espessura da parede é dobrada.

Assim, a taxa de condução de calor através de uma camada plana é proporcional à diferença de temperatura através da camada e a área de transferência de calor, e é inversamente proporcional à espessura da camada. Sendo definida por Çengel pela equação 1:

$$Q_{Cond} = -k \times A \times (T_1 - T_2) \times L$$
 (1)

Onde:

Q<sub>Cond</sub> = Taxa de condução de calor em (W)

k = Condutividade térmica do material (W/m.K)

A = Área (m²)

 $T_1$  = Temperatura inicial (K)

 $T_2$  = Temperatura final (K)

L = Espessura (m)

#### 2.3.1.1 Condutividade Térmica do Material

Os materiais apresentam caracteristicas diferentes uns dos outros por isso, cada material possui um modo de armazenamento de energia distintos expressada pelo calor específico(*cp*). A condutividade térmica(*k*) de um material é a medida da capacidade do material conduzir calor. A taxa de transferência de calor por condução sob condições permanentes também pode ser expressada como uma equação que define a condutividade térmica. Assim a condutividade térmica de um dado material pode ser definida como a taxa de transferência de calor através de uma unidade de comprimento de dado material por unidade de área por unidade de diferença de temperatura sendo expressado também pela equação 1. Um alto valor de condutividade indica que o material é bom condutor de calor, enquanto um valor baixo indica que o material é um mal condutor de calor ou um isolante (CENGEL, *et al* 2011).

As condutividades térmicas dos materiais podem ser facilmente encontradas por tabelas, como vemos a seguir na Tabela 4 e 5:

Tabela 4: Condutividade Térmica do Material

MATERIAL	CONDUTIVIDADE TÉRMICA [W/(m.K)]
PRATA	426
COBRE	398
ALUMÍNIO	237
TUNGSTÊNIO	178
FERRO	80,3
VIDRO	0,72 - 0,86
ÁGUA	0,61
TIJOLO	0,4 - 0,8
MADEIRA (PINHO)	0,11 - 0,14
FIBRA DE VIDRO	0,046
ESPUMA DE POLIESTIRENO	0,033
AR	0,026
ESPUMA DE POLIURETANO	0,02

(Fonte: Reddo, 2008)

Tabela 5: Condutividade Térmica do Material

Condutividade térmica de alguns materiais em temperatura ambiente		
Material	k, W/m.K	
Diamante	2.300	
Prata	429	
Cobre	401	
Ouro	317	
Alumínio	237	
Ferro	80,2	
Mercúrio (I)	8,54	
Vidro	0,78	
Tijolo	0,72	
Água (I)	0,507	
Pele humana	0,37	
Madeira (carvalho)	0,17	
Hélio (g)	0,152	
Borracha macia	0,13	
Fibra de vidro	0,043	
Ar (g)	0.026	
Uretano, espuma rigida	0,026	

(Fonte: Çengel, 2011)

## 2.3.2 Transferência de Calor por Convecção

Segundo (Çengel 2009) convecção é o modo de transferência de energia entre uma superfície sólida e uma liquida ou um gás adjacente, que está em movimento e que envolve os efeitos combinados de condução e de movimento de um fluido. Quanto mais rápido o movimento do fluido, maior será a transferência de calor por convecção. Na ausência de qualquer movimento de uma massa de fluido, a transferência de calor entre uma superfície sólida e o fluido adjacente é por pura condução.

A convecção é um processo de transporte de energia pela ação combinada da condução de calor, armazenamento de energia e movimento de mistura. Esta é classificada de acordo com o modo de motivação do fluido (OLIVEIRA, *et al* 2006).

A transferencia de calor por convecção pode ser classificada de acordo com a natureza do escoamneto do fluido, isso quando nos referimos a convecção forçada, ou seja, isso ocorre quando o fluido é forçado a fluir sobre a superfície por meios externos, tais como um ventilador, bomba ou o vento atmosféricos (INCROPERA, *et al*, 2007).

Em contrapartida, a convecção é chamada de convecção natural se o movimento fluido é causado por forças de empuxo que são induzidas por diferenças de densidade, devidas á variação da temperatura no fluido (INCROPERA, *et al*, 2007).

Apesar da sua complexidade, observa-se que a taxa de transferência de calor por convecção é proporcional à diferença de temperatura, e sendo convenientemente expressa pela lei de Newton do resfriamento na equação 2:

$$Q_{Conv} = h \times A_S \times (T_S - T_{\infty})$$
(2)

Onde:

Q<sub>Conv</sub> = Taxa de transferência de calor por convecção (W)

h = Coeficiente de transferência de calor por convecção ( $W/m^{2}$ °C)

 $A_S = \text{Área superficial (m}^2\text{)}$ 

T<sub>S</sub> = Temperatura da superfície (°C)

 $T_{\infty}$  = Temperatura do fluido suficientemente longe da superfície (°C)

## 2.3.2.1 Convecção Forçada

Segundo (OLIVEIRA, *et al* 2006), define convecção forçada quando o movimento é causado por um agente externo, como uma bomba ou um ventilador, temse a convecção forçada. Situações como o resfriamento de um radiador de automóvel, pelo ar soprado por um ventilador, são exemplos de como ocorre a convecção forçada.

# 2.3.2.2 Convecção Natural

A transmissão de calor por convecção natural ocorre sempre quando um corpo é colocado num fluido a uma temperatura maior ou menor do que a de seu próprio corpo. Em consequência da diferença de temperatura, o calor flui entre o fluido e o corpo e causa uma variação de densidade nas camadas fluidas situadas nas vizinhanças da superfície. A diferença de densidade induz um escoamento descendente do fluido mais pesado e ascendente do fluido mais leve, este sistema de transmissão de calor é chamado de convecção natural ou livre. O movimento do ar no deserto num dia calmo, nas paredes de um edifício e no corpo humano estacionário numa atmosfera calma, pode ser exemplos de convecção natural (OLIVEIRA, *et al* 2006).

Um exemplo bastante conhecido de convecção natural é o aquecimento de água em uma panela doméstica. Neste caso, o movimento das moléculas de água pode ser observado visualmente, como demonstrado na figura 2.

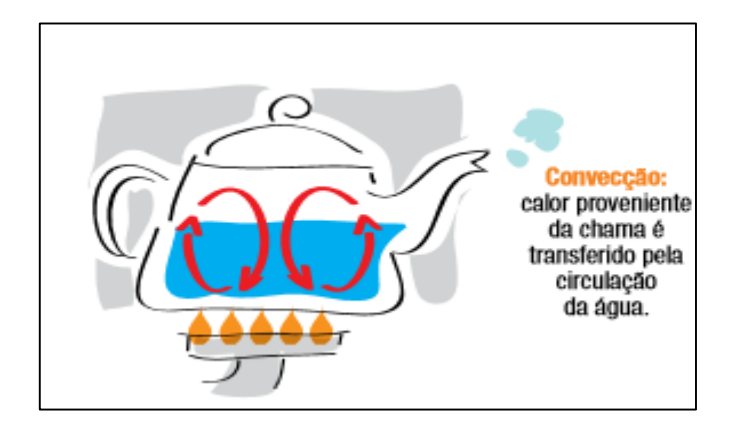


Figura 2: Exemplo de Transferência de Calor dentro de uma Chaleira

(Fonte: Manual Elektro de Eficiência Energética)

## 2.3.2.3 Coeficiente de Trasnferência de Calor por Convecção

O coeficiente de transferência de calor por convecção h não é uma propriedade do fluido. É um parâmetro terminado experimentalmente, cujo valor depende de todas as variáveis que influenciam a convecção, ou seja, depende das condições da camada limite nas quais são influenciadas por sua geometria da superfície, pela natureza de escoamento do fluido e por uma série de propriedades termodinâmicas e de transporte do fluido (INCROPERA, *et al*, 2007). Valores típicos de h são apresentados na tabela 6.

Tabela 6: Valor do Coeficiente de Transferência de Calor por Convecção

Tipo de convecção	<i>ħ</i> , ₩/m² · °C°
Convecção livre	
de gases	2-25
Convecção livre	
de líquidos	10-1000
Convecção forças	da
de gases	25-250
Convecção forçad	da
de líquidos	50-20000
Ebulição e	
condensação	2500-100000

(Fonte: Çengel, 2009)

## 2.3.3 Transferência de Calor por Radiação

Radiação é a energia emitida por toda a matéria sob a forma de ondas eletromagnéticas, que se encontra a uma temperatura diferente de nula. As emissões podem ser para mateirais sólidos, liquidos e gasosos, independente da forma da matéria, essas emissões podem ser atribuídas a mudanças nas configurações eletrônicas dos átomos ou moléculas que a constituem. A transferência de energia por condução e convecção, requer uma presença de um meio material, ao contrario na radiação que não necessita. A transferência de calor por radiação não sofre atenuação no vácuo, sendo mais eficiente. Essa é a forma como a energia do sol atinge a terra (INCROPERA, *et al*, 2007).

Incropera 2007, define que quando uma superfície de emissividade  $\varepsilon$  e área superfícial As a uma temperatura termodinâmica Ts é completamente delimitada por uma

superfície muito maior a uma temperatura termodinâmica separada por um gás, que não intervêm na radiação, a taxa líquida de transferência de calor por radiação entre essas duas superfícies e dada pela equação 03.

$$Q_{Rad} = \varepsilon \times \sigma \times A_{S} \times (T_{S}^{4} - T_{Viz}^{4})$$
(3)

Onde:

Q<sub>Rad</sub> = Taxa de transferência de calor por radiação (Watts)

 $\varepsilon$  = Emissividade da superfície (W/m<sup>2</sup>°C)

 $\sigma$  = Constante de Stefan-Boltzmann

 $A_S = \text{Área superficial (m}^2\text{)}$ 

 $T_S$  = Temperatura da superfície (K)

 $T_{Viz}$  = Temperatura da vizinhança (K)

Sendo a taxa total de transferência de calor a partir de sua superfície, sendo o somatório da taxa de convecção e radiação, expressada pela equação 4:

$$Q = \epsilon \times \sigma \times A_S \times (T_S^4 - T_{Viz}^4) + h \times A_S \times (T_S - T_{\infty})$$
 (4)

#### 2.4 TIPOS DE CALDEIRAS

Segundo Bizzo (2003), podemos classificar as caldeiras basicamente em dois tipos: caldeira flamotubular, e caldeira aquatubular.

#### 2.4.1 CALDEIRA FLAMOTUBULAR

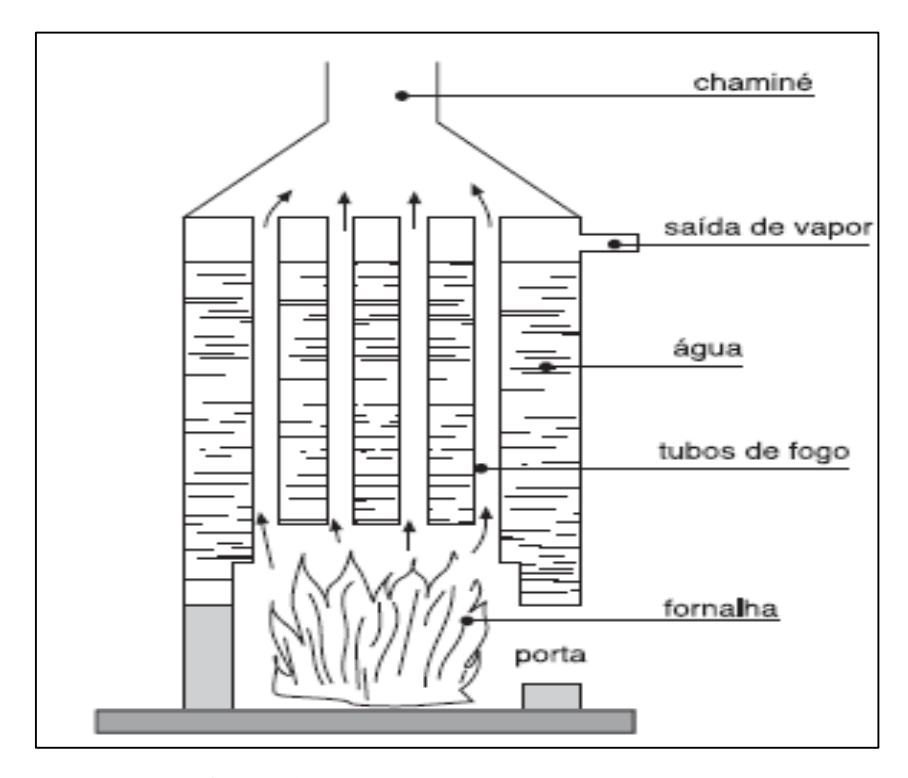
O primeiro tipo de caldeira a ser construída. É também chamada de tubo-defogo, tubo-de-fumaça ou pirotubular, devido dos gases quentes provenientes da combustão que circulam no interior dos tubos em um ou mais passes, ficando a água por fora dos mesmos. Tipo de caldeira mais simples, muito usada em locomotivas e navios, mesmo com o aparecimento de caldeiras mais modernas, este tipo ainda continua em uso. Posteriormente, com alguns aperfeiçoamentos, passou a chamar-se caldeira escocesa. (ZANELLA JUNIOR, 2013). Para Bizzo (2003), as caldeiras flamotubulares representam a maioria das caldeiras, pois são utilizadas para pequenas capacidades de produção de vapor (da ordem de até 10 ton/h) e baixas pressões (até 10 bar), chegando algumas vezes a 15 ou 20 bar. Dentre as caldeiras do tipo flamotubular podemos ainda dividir em caldeiras horizontais e verticais.

#### 2.4.1.1 Caldeira Vertical

Pode ser com fornalha interna ou externa, é do tipo monobloco, constituída por corpo cilíndrico fechado e nas extremidades por placas planas (espelhos). Os gases de combustão sobem através de tubos, aquecendo e vaporizando a água que se encontra externamente aos mesmos.

Este tipo de caldeira possui as mesmas características da caldeira horizontal multitubular. A diferença é o método de como os tubos são alocados internamente, neste os tubos ficam verticalmente dentro do cilindro e a fornalha interna fica no corpo do cilindro. Os gases resultantes da queima na fornalha sobem pelos tubos e aquecem a água que se encontra por fora dos mesmos como mostra a figura 1 (NOGUEIRA, 2005).

Inúmeras são as suas aplicações por ser fácil transporte e por possuir pequeno espaço físico quando na configuração de fornalha externa, exigindo pequenas fundações, e não requer grande quantidade de vapor, mas alta pressão. Porém é de baixa capacidade e baixo rendimento térmico. São construídas de 2 até 30m2 com pressão máxima de 10 (kg/2), sua capacidade específica de 15 a 16 kg de vapor por m2 de superfície de aquecimento. Sua grande vantagem é, possuir seu interior bastante acessível facilitando a limpeza, fornecendo um maior rendimento no tipo de fornalha interna. As caldeiras com fornalhas externas, são muito aplicadas quando se tem combustíveis de baixo teor calorífico (MARTINELLI JUNIOR, 2003).



**Figura 3:** Caldeira Flamotubular Vertical (Fonte Eficiência Energética no Uso de Vapor, 2005).

### 2.4.1.2 Caldeira Horizontal

Podem possuir fornalha interna ou externa. Faz-se aqui uma descrição de alguns exemplos dos diversos tipos de Caldeiras Horizontais.

## 2.4.1.3 Caldeira Cornuália

Seu funcionamento é simples, constituída por uma tubulação colocado inteiramente no sentido, por onde circulam os gases provenientes da combustão, assim transmitindo calor gerado para a água, que o circunda, por contato de sua superfície externa (figura 2). Geralmente são de grandes dimensões, em torno de  $100\text{m}^2$ , seu rendimento térmico é baixo e, devido a sua grande dimensão, sua pressão máxima é limitada à  $10 \text{ kg/cm}^2$ . Sua capacidade específica varia de 12 a 14 kg de vapor por  $\text{m}^2$  de superfície (ZANELLA JUNIOR, 2013).

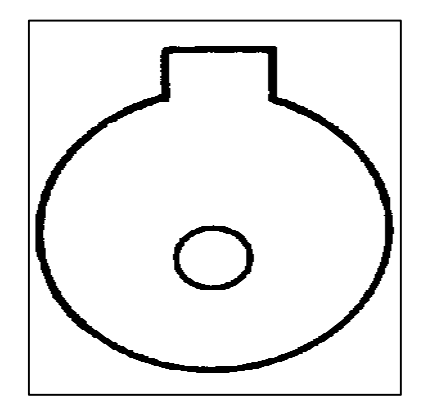


Figura 4: Caldeira do Tipo Cornuália

(Fonte: http://www.eliseuzanellajunior.com)

### 2.4.1.4 Caldeira Lancaster

Conhecida também como Caldeira Lancashire, esta é uma evolução da caldeira mencionada anteriormente, possuindo dois, três ou até quatro tubos internos conhecido como tubulões, alcançando superfície de aquecimento entre 120 a 140m². Alguns tipos atingem cerca de 15 a 18 kg de vapor por m² de superfície de aquecimento (MARTINELLI JUNIOR, 2003).

Estes dois tipos citados são chamados de tubo-de-fogo-direto, pelo simples fato de os gases percorrem os tubo internamente na caldeira uma única vez. No contexto de caldeiras flamotubulares horizontais de fogo direto existem as multitubulares, estas constam com vários tubos internos conforme pode ser visto na figura 3. Alguns modelos de caldeiras apresentam Tubos-de-fogo e de retorno, este processo ocorre devido aos gases desprendidos durante a combustão na fornalha, os gases circulam por outros tubos que os fazem retornar a lateral da fornalha e em seguida saindo pela chaminé (ZANELLA JUNIOR, 2013).

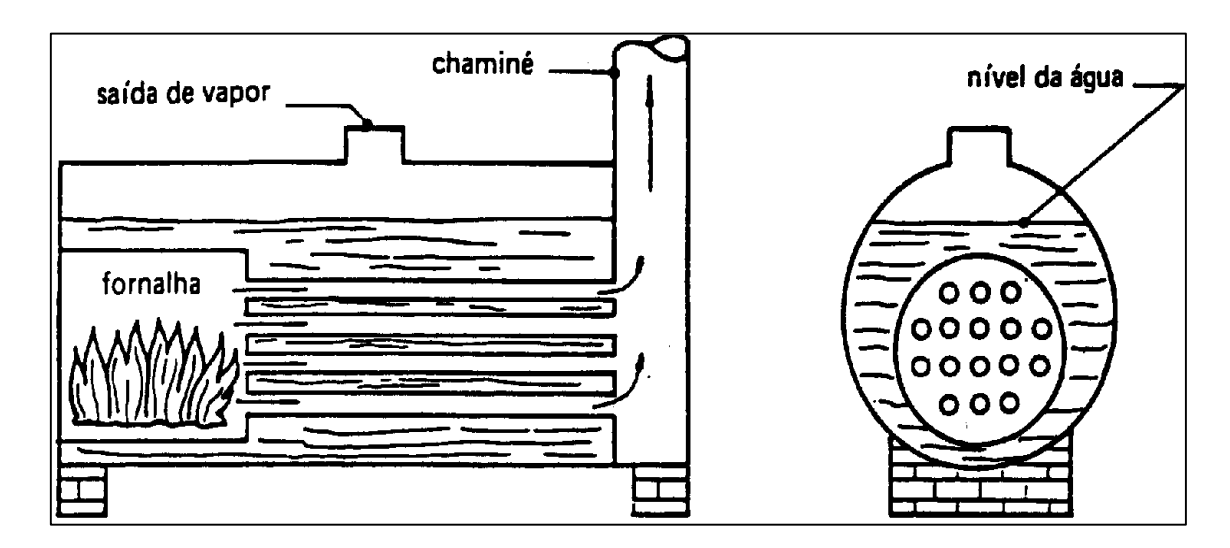


Figura 5: Caldeira do Tipo Lancaster

(Fonte: http://www.eliseuzanellajunior.com)

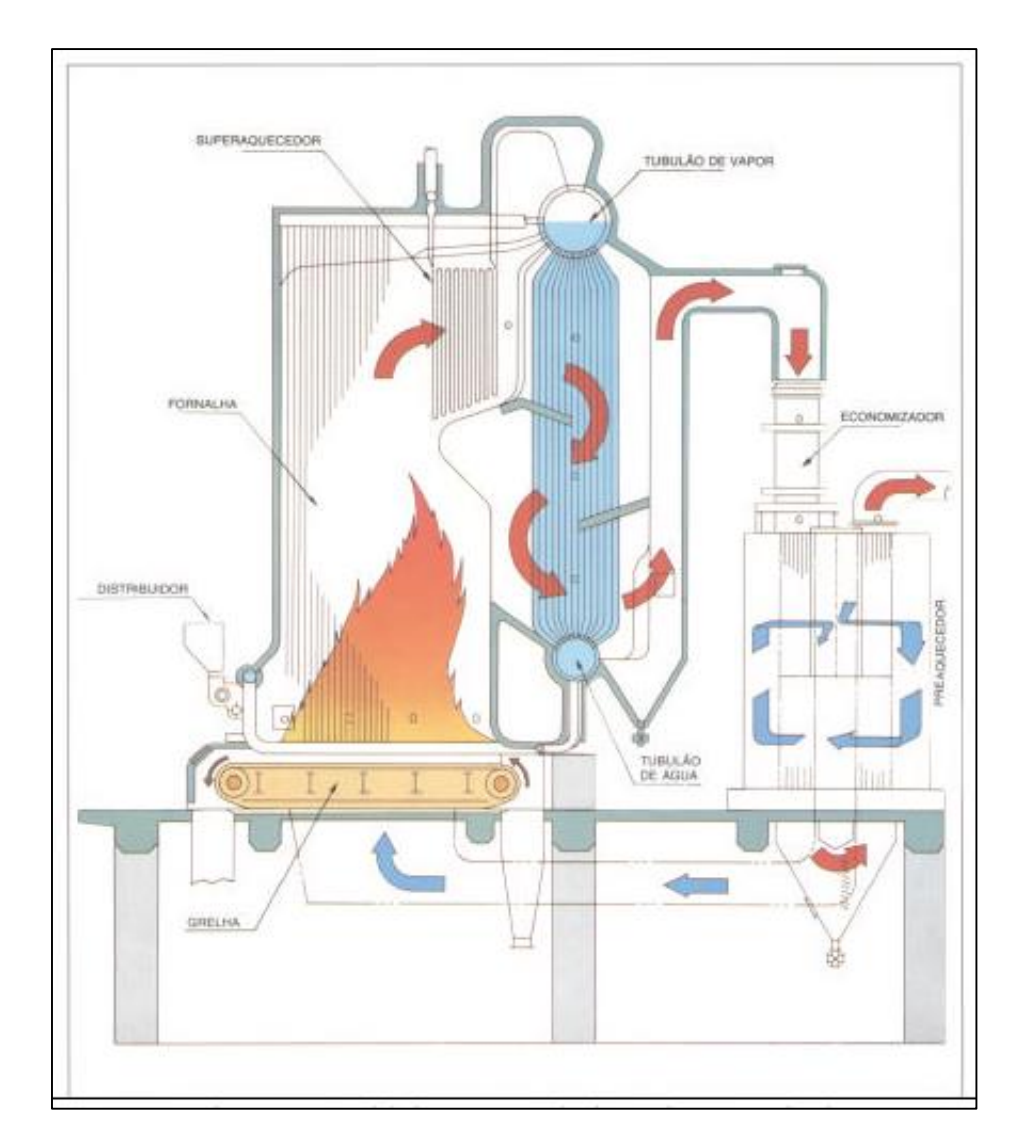
Os dois modelos tanto a Lancaster como a Cornuália, estão encaminhando para o desuso devido às unidades modernas mais compactas (MARTINELLI JUNIOR, 2003).

# 2.4.2 CALDEIRAS AQUOTUBULAR

Conhecidas como Caldeiras Tubos de Água se caracterizam pelo fato dos tubos situarem-se fora dos tubulões da caldeira (tambor) constituindo com estes um feixe tubular. Diferente das Flamotubulares, o fato da água circular no interior dos tubos e os gases quentes se acham em contato com sua superfície externa. Boa parte de sua aplicação é quando interessa obter pressões e rendimentos elevados, pois os esforços desenvolvidos nos tubos pelas altas pressões são de tração ao invés de compressão, como ocorre nas flamotubular, também pelo simples fato dos tubos estarem fora do corpo da caldeira obtemos superfícies de aquecimento ilimitadas. Este tipo de caldeira abrangem uma grande faixa e em vista disto temos como resultado muitos tipos e modificações, tais como tubos retos, tubos curvos de um ou mais corpos cilíndricos, com circulação forcada, enfim a flexibilidade permitida possibilita vários arranjos (MARTINELLI JUNIOR, 2003).

A seguir a figura 6, representa uma seção transversal de uma caldeira aquotubular com dois tambores (tubulão de vapor e o tubulinho, ou tubo de lama). Um feixe tubular de água compõe a parte principal de absorção de calor, no interior dos tubos

circula a água e por fora os gases quentes através do caminho formado pela alvenaria e chicanas internas (NOGUEIRA, 2005).



**Figura 6:** Caldeira do Tipo Aquotubular Vertical (Fonte: Geradores de Vapor, 2003).

# 2.5 RUGOSIDADE

Segundo (BRUNETTI, 2008), os condutos apresentam micro deformações nas paredes internas, que influenciam na perda de carga dos fluidos em escoamento, tais asperezas não são uniformes, mas apresentam uma distribuição aleatória tanto em altura com disposição. Para efeito de cálculo supõe-se que as asperezas tenham altura e

distribuição uniforme, essa altura das imperfeições é denominada de rugosidade uniforme.

Para estudo das perdas em escoamento de fluidos é simples de se compreender que não dependem diretamente de  $\varepsilon$  e sim do quociente entre ( $\varepsilon/\emptyset$ ), denominado de rugosidade relativa (BRUNETTI, 2008).

### 2.5.1 Classificação das Perdas de Carga

Quando for necessário analisar o comportamento do escoamento dos fluidos em condutos, será possível distribuir a perda de carga em dois tipos: perdas de carga distribuída e perda de carga local ou de singularidades (BRUNETTI, 2008).

# 2.5.1.1 Perda de Carga Distribuída

Esta parcela é indicada por h<sub>f</sub>, como o próprio nome diz é a que acontece ao longo de tubos retos de secção constante, devido ao atrito das próprias partículas do fluido entre si (BRUNETTI, 2008).

#### 2.5.1.2 Perda de Carga Locais ou Singularidades

Brunetti (2008), define perda de carga por singularidades aquelas que acontecem em locais de instalações em que o fluido sofre perturbações bruscas no seu escoamento, podendo ser representada pela expressão h<sub>s</sub>.

# 2.6 PERDAS DE CARGAS EM TUBULAÇÕES

Segundo Zattoni (2008), o tubo é um conduto fechado, oco, na maioria das vezes circular destinado ao transporte de fluidos. Diferente de tubulação, ou seja, neste caso é um conjunto de tubos, conexões, válvulas e acessórios formando uma linha para a condução de fluidos.

Para Bizzo (2003), a distribuição de fluído é feita através de redes e ramos de tubulações, estas controladas por válvulas manuais ou de controle automático e pelos

dispositivos de segurança. A tubulação necessita normalmente de pouca manutenção, porém, seus acessórios já citados necessitam de maiores cuidados.

A principal perda de energia na distribuição de vapor desde a caldeira até os pontos de utilização ocorre pela transferência de calor com ambiente e deve ser minimizada mediante o adequado isolamento das linhas de vapor. Em linhas de vapor saturado se torna uma situação muito comum, a energia térmica perdida ocasiona a formação de condensado, devendo ser retirado por meio de purgadores. Nas distribuições de vapor, quando existem perdas além do tolerável, o volume de condensado é muito alto e, muitas das vezes o condensado acarreta no funcionamento ineficiente do sistema de vapor e um gasto adicional de combustível para a geração de vapor (NOGUEIRA, 2005).

Durante a fase de concepção e projeto do sistema de distribuição de vapor, de acordo com a demanda a ser atendida e a perda de carga admissível, estabelecem os diâmetros dos tubos e de acordo com esses dados especificam-se os purgadores, assim, definindo seu posicionamento. Havendo uma condensação excessiva, aumentam as perdas de cargas e reduz a entalpia do vapor efetivamente disponibilizado aos consumidores. Um projeto bem dimensionado de distribuição de vapor, deve prever margens de segurança para que a operação ocorra sempre de forma mais eficiente, inclusive nos inevitáveis transientes durante a partida dos sistemas. Como por exemplo, no aquecimento, uma linha de 4" de diâmetro e comprimento de 20 m pode condensar cerca de 0,5 l/s (1800 kg/h), um valor normalmente acima do especificado para os purgadores instalados nas linhas (NOGUEIRA, 2005).

Particularmente na manutenção das redes de distribuição de vapor, deve-se priorizar a conservação do isolamento, fundamental para manter a condensação do vapor em valores toleráveis e o perfeito funcionamento dos purgadores de vapor. Inspeções rotineiras dos purgadores são medidas de grande impacto no desempenho energético de sistemas de vapor, já que, frequentemente, estes dispositivos podem apresentar defeitos que implicam perdas de vapor. Um orifício de ¼", aproximadamente 6 mm, frente a uma pressão diferencial de 40 bar descarrega cerca de 500 kg/h de vapor; ou seja, orifícios podem causar perdas consideráveis (NOGUEIRA, 2005).

Segundo (Pederiva, *et al*, 2013), conseguimos determinar as perdas na rede de distribuição de vapor pelos critérios da perda na secção da tubulação reta, perdas pelas singularidades, e também pelos purgadores.

### 2.7 PURGADORES

Durante o transporte e acumulo de vapor forma-se a condensação. Em tubulações de vapor úmido, o condensado se forma por precipitação da própria umidade, já nas tubulações de vapor saturado o condensado aparece em consequência das perdas de calor por irradiação ao longo da linha. Este condensado forma-se também em todos os aparelhos de aquecimento a vapor (serpentinas, refervedores, aquecedores a vapor, autoclaves, estufas etc.), como consequência da perda de calor do vapor, se torna prejudicial nos equipamentos que utilizam o vapor como fonte de energia. Com a aplicação de válvulas automáticas, se consegue garantir a descarga deste condensado formado no conduto sem perda de vapor. O condensado não tem ação motora (máquinas a vapor) nem a ação aquecedora eficiente (o vapor aquecendo o calor latente de condensação). A entrada ou a permanência do condensado nesses equipamentos diminui muito a eficiência (NOGUEIRA, 2005).

Quando o vapor sede seu calor latente para aquecimento de qualquer outro fluido que deve ser aquecido, ele condensa e passa para fase líquida, este condensado gerado contém somente o calor sensível, devendo ser removido se a transferência de calor continuar. Ar e outros gases incondensáveis arrastados juntamente com o vapor formam uma barreira na transferência de calor entre o vapor e a superfície de aquecimento. Sendo assim, devem ser descarregados para fora do sistema. Para esta operação ser feita utilizamos o Purgador (SARCO, 2005).

Como vimos anteriormente os dispositivos destinados a eliminar este condensado, são chamadas de purgador, e sua principal função é drenar condensado sem perder vapor. Os purgadores em seu estado de conservação, além de removerem o condensado também eliminam o ar e outros gases incondensáveis que possam estar presentes junto ao condensado (SARCO, 2005).

No mercado existem vários tipos de purgadores, cada qual com suas características próprias de funcionamento e dimensionamento, que os definem a sua aplicação correta. Caso as condições de operação de todos os pontos de aplicação fossem as mesmas, existiria um único tipo de purgador para atendê-las, porém, na prática isso não ocorre, logo podemos ter uma ideia de que não existe um purgador universal que se aplique em qualquer condição de processo, a seguir citaremos alguns dos diversos tipos de purgadores dentre os existentes no mercado.

### 2.8 TIPOS DE PURGADORES

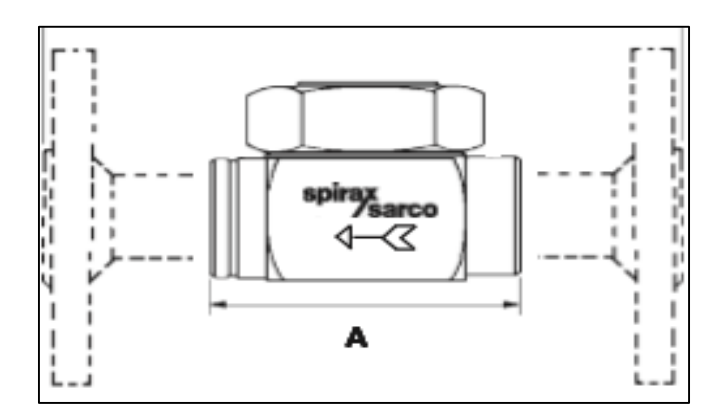
### 2.8.1 Purgadores Termodinâmicos

# 2.8.1.1 Purgador Termodinâmico (Fluxo Simples)

Este modelo de purgador termodinâmico, é destinado para drenagem de linhas de vapor saturado, indicado principalmente para drenagem de rede de distribuição onde existe o grande acúmulo de condensado de um único sentido (SARCO, 2000).

Características de funcionamento:

- → Pressão máxima de 42 bar;
- → Pressão mínima de 0,7 bar;
- → Contrapressão máxima de 50% da pressão de trabalho;
- → Temperatura máxima de 425°C.



**Figura 7:** Purgador Termodinâmico de Fluxo Simples (Fonte: Catálogo Spirax Sarco, 2000)

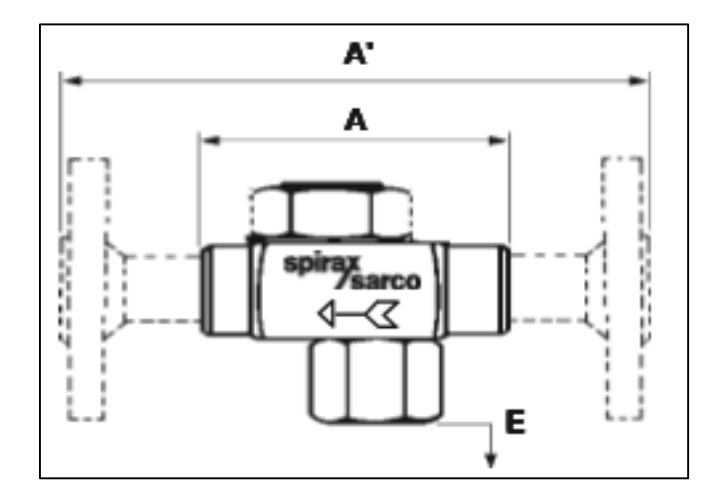
2.8.1.2 Purgador Termodinâmico de Fluxo distribuído com Filtro Incorporado

Sua aplicação é igual o anteriormente citado, destinado para drenagem de linhas gerais de vapor saturado. Se caracteriza pelo fluxo distribuído na câmara interna o qual garante sua alta durabilidade. As saídas de condensado, por orifícios paralelos entre si e a tubulação, permitem uma descarga laminar, impedindo desgastes na conexão de saída. O filtro incorporado ao corpo do purgador reduz o espaço de instalação e garante a

retenção de sujeiras, antes de sua chegada a sede, evitando o desgaste provocado pelo não assentamento perfeito do disco (SARCO, 2000).

Características de Funcionamento:

- → Pressão máxima de 42 bar;
- → Pressão mínima de 0,25 bar;
- → Contrapressão máxima de 80% da pressão de trabalho;
- → Temperatura máxima de 425°C.



**Figura 8:** Purgador Termodinâmico de Fluxo Distribuído com Filtro Incorporado

(Fonte: Catálogo Spirax Sarco, 2000)

Atualmente existem diversos fabricantes de purgadores, cada fabricante possui uma especificação diferente para cada componente, como podemos visualizar na próxima figura 9, é um purgador termodinâmico com características diferentes ao anterior.

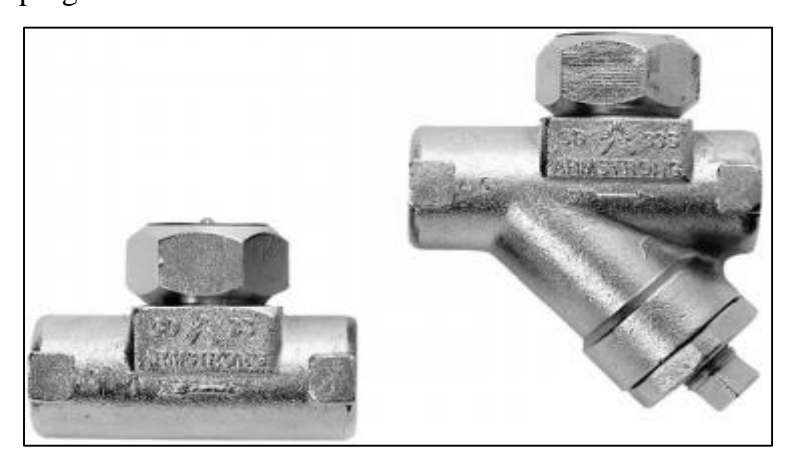


Figura 9: Purgador Termodinâmico de Base e Disco Incorporado

(Fonte: Catálogo de Produtos Armstrong, 2016)

Purgador de vapor tipo termodinâmico em aço inoxidável, base e disco integrados com superfícies endurecidas e acabamento em aço inox banhado a níquel. Quando necessário, o purgador possuirá filtro "Y" integrado, válvula de purga ou cobertura isoladora de proteção contra chuva.

Características de Funcionamento:

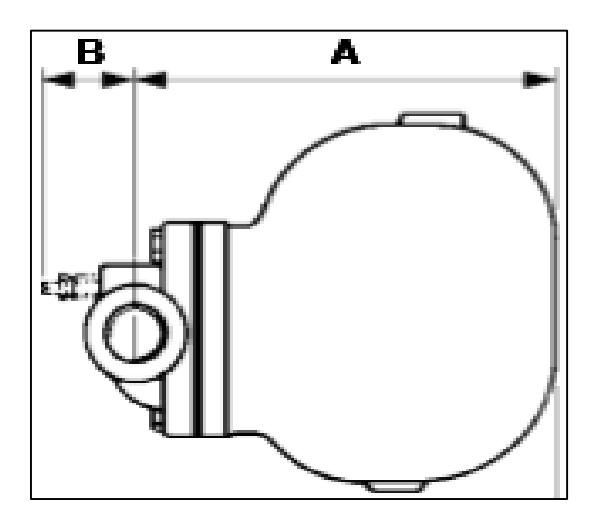
→ Pressão máxima permitida: 63 bar;

→ Temperatura máxima: 400°C;

→ Pressão máxima de operação: 42 bar.

# 2.8.2 Purgadores Tipo Bóia

Diferente do termodinâmico, este purgador um modelo de descarga contínua para drenagens em sistemas de vapor. Recomenda-se sua aplicação para equipamentos como por exemplo: tanques serpentinados, reatores, aquecedores, trocadores de calor em geral, evaporadores, etc. Descarrega o condensado assim que este se forma, grande vantagens no quisito de manutenção, mesmo que instalado na linha. A presença do orifício de descarga abaixo do nível de condensado dentro do purgador previne contra a passagem de vapor (SARCO, 2000).



**Figura 10:** Purgador do Tipo Bóia (Fonte: Catálogo Spirax Sarco, 2000)

# 2.8.3 Purgador de Balde Invertido

Entre os purgadores, este modelo de balde invertido é o mais robusto dentre os tipos mecânicos e empregam um simples princípio de operação descarregando o condensado intermitentemente. São uma excelente escolha onde exista o risco de golpes de ariete, além disto possuem todos os elementos em contato direto com o fluido, em material de aço inox o que garante sua alta durabilidade e resitência (SARCO, 2000).

Caracteristicas de Funcionamento:

→ Pressão Máxima de Trabalho em vapor: 30 bar;

→ Temperatura Máxima: 250°C;

→ Pressão Máxima: 50 bar;

→ Temperatura Máxima: 400°C.

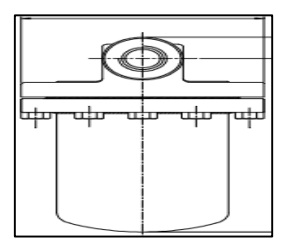


Figura 11: Purgador do Tipo Balde Invertido

(Fonte: Catálogo Spirax Sarco, 2000)

Outro exemplo de purgadore do tipo balde invertido, representado na figura 11.



Figura 12: Purgador do Tipo Balde Invertido

(Fonte: Catálogo de Produtos Armstrong, 2016)

Especificação do Purgador: de vapor tipo balde invertido, em ferro fundido, com ventilação contínua de ar à temperatura do vapor, mecanismo flutuante em aço inoxidável e orifício de descarga no topo do purgador.

Características de Funcionamento:

→ Pressão Máxima de trabalho em vapor: 17 bar;

→ Temperatura Máxima: 232°C;

→ Pressão Máxima Operacional: 17 bar.

# 2.8.4 Purgadores Termostáticos

# 2.8.4.1 Purgador Termostático de Pressão Balanceada

Os purgadores de pressão balanceada operam através de um elemento termostático especialmente desenvolvido que acompanha a curva de vapor saturado, liberando o condensado abaixo da temperatura do vapor saturado. Devido às suas características é um excelente eliminador de ar, podendo ser instalado em finais de linha e camisas de vapor. Não é afetado pela contra-pressão o que o coloca como melhor escolha para panelões, fornos à vapor e mesas quentes. A cápsula do elemento termostático em aço inox o torna altamente resistente a corrosão e golpes de aríete. O filtro incorporado impede que partículas cheguem à sede, dando perfeita estanqueidade ao purgador na presença de vapor. Seu elemento termostático é robusto e altamente resistente à corrosão e golpes de aríete (SARCO, 2000).

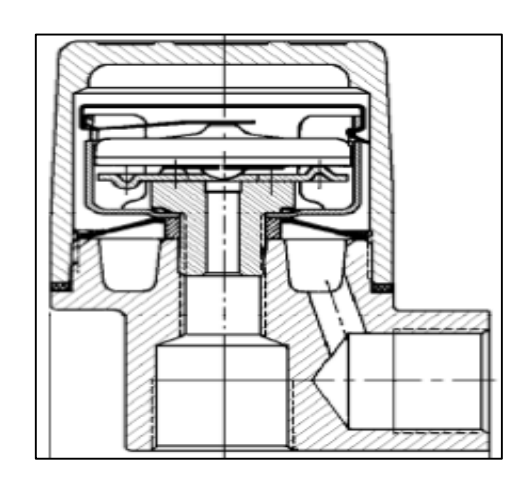


Figura 13: Purgador Termostático de Pressão Balanceada

(Fonte: Catálogo Spirax Sarco, 2000)

Caracteristicas de Funcionamento:

- → Pressão máxima de 14,0 bar à temperatura de 200°C;
- → Com o elemento BP 99 (G), descarrega o condensado à 6°C abaixo da temperatura de vapor saturado.

# 2.8.4.2 Purgador Termostático Bimetálico

Os purgadores bimetálicos podem economizar energia descarregando o condensado a uma temperatura abaixo da temperatura do vapor saturado, permitindo a utilização do calor do próprio condensado para aquecimento eficiente de linhas de traceamento e serpentinas. Sua construção assegura a alta resistência à corrosão e golpes de aríete. O elemento bimetálico cruzado assegura o seu correto funcionamento na descarga do condensado e ar, assim como a perfeita estanqueidade da sede quando fechado (SARCO, 2000).

Caracteristicas de Funcionamento:

- → Pressão máxima de 21,0 bar (300 psi) à temperatura de 350°;
- → Com regulagem standard descarrega à 28°C abaixo da temperatura de vapor saturado.

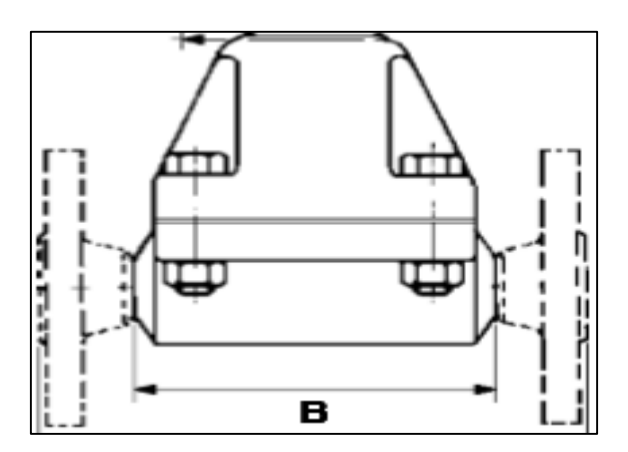


Figura 14: Purgador do Tipo Bimetálico

(Fonte: Catálogo Spirax Sarco, 2000)

# 2.8.5 Purgador Eletrônico

Purgador Eletrônico ideal para remover condensado do sistema de ar comprimido. A válvula solenóide é atuada eliminando o condensado sob o comando de um temporizador regulável, ajustando-se o intervalo e duração conforme necessário. O Purgador Eletrônico pode ser instalado na drenagem do compressor ou diretamente na linha (SARCO, 2000).

Características de Funcionamento:

- → Intervalo entre as drenagens: 0,2 à 45 minutos;
- → Duração de drenagem: 0,1 a 30 segundos;
- → Vazão máxima do condensado: 490 l/h a 16 bar;
- → Pressões Diferenciais: Mínima zero Máxima 16 bar;
- → Temperatura Ambiente: 100C à 600C;
- → Temperatura máxima do condensado: 80°C;
- → Potência: 16 Watt, em Corrente Alternada;
- → Disponiveis em diversas Tensões: 24/60 Hz, 120/60 Hz, 110/50 Hz 240/60 Hz, 220/50 Hz.

Em alguns modelos possui indicação luminosa quando acionado e botão teste.

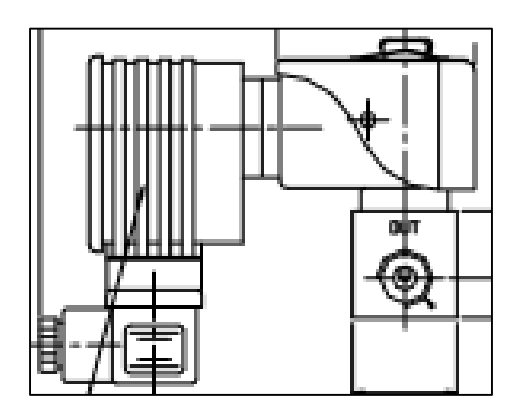


Figura 15: Purgador Eletrônico

(Fonte: Catálogo Spirax Sarco, 2000)

### 2.9 DIMENSIONAMENTO DE PURGADORES

Depois de ter selecionado o tipo de purgador ideal para a sua aplicação, deve-se dimensioná-lo adequadamente.

A capacidade de descarga de um purgador depende do diâmetro do orifício, da temperatura do condensado e da pressão diferencial através do orifício. Um dado purgador tem uma capacidade de descarga de água fria maior que a de condensado, considerando-se a mesma pressão diferencial. Isto ocorre devido ao efeito do vapor reevaporado. As curvas de vazão no qual se analisa empiricamente com a pressão e o diâmetro do purgador, mostram a capacidade de descarga de condensado quente que os purgadores Spirax Sarco no modelo especificado, oferecem. Entretanto, deve-se considerar um fator de segurança para a garantia do sistema (SARCO, 2005).

### 2.10 ISOLAMENTO TÉRMICO

Segundo (Manual Elektro de Eficiência Energética) a função do isolamento térmico é retardar o fluxo de energia térmica não desejada, seja para dentro ou para fora do equipamento designado. Sua eficiência é medida com uma propriedade denominada condutibilidade térmica. A condutibilidade térmica, representada pela letra k, pode ser expressa em kcal/h.m.°C, que significa a quantidade de calor que atravessa um cubo com um metro de lado no período de uma hora, quando há uma diferença de temperatura de 1 °C entre as faces opostas.

Cada tipo de material possui um valor típico de k. Materiais com baixos valores de k são os que apresentam baixa condutibilidade térmica, ou seja, são bons isolantes térmicos. Os principais materiais utilizados para essa finalidade são a cortiça, o poliestireno expandido (espuma), a madeira, as telas refletoras, a fibra-cerâmica, lã de rocha e lã de vidro e também o vácuo. O k é uma função da temperatura, e seu valor está associado a uma determinada faixa de temperaturas (Manual Elektro de Eficiência Energética).

Nogueira (2005), define os isolantes térmicos convencionais do tipo não condutor recebem esse nome porque em sua estrutura armazena-se tem grande quantidade de ar, que não transmite calor por convecção. Tal situação se, de um lado, fornece isolante eficiente e adequado às condições usuais, de outro, apresenta um limite mínimo

intransponível para a eficiência desses materiais, ou seja, a condutibilidade do ar 0,02 Kcal/h.m.°C. Os melhores isolantes desse tipo têm condutibilidade próxima de 0,03 Kcal/h.m.°C.

Nogueira (2005), define os tipos de isolamento em quatro principais tipos de estrutura, citados a seguir.

Isolantes refletivos - materiais mais comumente usados são folhas metálicas, com grande poder refletor de ondas de calor, com baixa absorção e emissividade dessas mesmas frequências. Os materiais mais comuns para uso como isolantes refletores são o alumínio e os aços inoxidáveis, pela sua reflexão das ondas infravermelhas e visíveis, inalteráveis ao longo de sua vida útil.

Isolantes fibrosos - materiais mais usuais nesta classe são as Iãs de rocha, de escória e de vidro, o feltro e a madeira. Para o isolamento de equipamentos frios, devem ser bem impermeabilizados, pois são higroscópicos. A compactação das fibras não deve favorecer nem a condução nem a convecção natural. Assim, uma compactação excessiva aumenta o contato entre as fibras, facilitando a condução de calor. De outro modo, uma compactação insuficiente aumenta os espaços com ar, podendo facilitar a convecção natural.

Isolantes granulares - como o próprio nome diz, são constituídos de grânulos, podendo ser, isolados ou aglomerados, prendem ar, dificultando sua movimentação, fazendo com que a transferência de calor seja mínima. Os materiais mais comuns são o silicato de cálcio, a magnésia e a cortiça.

Isolantes celulares - São materiais altamente porosos, porém apresentam uma grande capacidade de serem impermeáveis, são constituídos de microcélulas que não são interconectadas, tornando a convecção mínima e a condução restringe-se às paredes das microcélulas, exemplo típico são as espumas sólidas.

As tubulações de vapor devem ter um isolamento térmico, pois caso contrário a condensação aumentará muito, devido a maior troca térmica com o ambiente. Além disto, ocorre uma queda do título, pois com maior quantidade de água, haverá maior contato vapor - água, o que provocará maior umidade no vapor. O isolamento da tubulação também tem a finalidade de proteger quanto a queimaduras, ou seja, devido à segurança devem-se isolar as tubulações de vapor (NOGUEIRA, 2005).

Os materiais mais utilizados para vapor são: hidrossilicato de cálcio, lã de rocha e lã de vidro. As espessuras utilizadas são as definidas pela espessura econômica, onde

se obtém um bom isolamento com um custo compatível, a seguir a Tabela 7, apresenta a condutibilidade térmica de alguns materiais.

Tabela 7: Condutibilidade Térmica de Materiais

Coeficientes de condutibilidade térmica para diversos isolantes térmicos			
MATERIAL ISOLANTE	TEMPERATURA MÁXIMA DEUTILIZAÇÃO °C	TEMPERATURA De operação °C	k (kcal/h.m.°C)
Poliuretano	100	0	0,020
		100	0,033
Fibra de vidro 550		200	0,041
	550	300	0,047
		400	0,056
		550	0,075
Silicato de cálcio 650		100	0,051
		200	0,057
		300	0,062
	650	400	0,068
		500	0,073
		600	0,078
		650	0,080
		100	0,035
		200	0,041
		300	0,048
Lã de rocha	750	400	0,057
La de locia	750	500	0,066
		600	0,077
		700	0,089
		750	0,096
	1.400	200	0,025
		400	0,050
Fibra cerâmica		600	0,080
HDra Ceramica		008	0,114
		1.000	0,154
		1.200	0,198

(Fonte: Manual Elektro de Eficiência Energética)

(6)

### 2.11 DIMENSIONAMENTO DAS PERDAS NOS GERADORES DE VAPOR

Para (VIANA, *et al* 2012) eficiência térmica pode ser definida de maneira genérica, pela seguinte equação 5:

 $\eta = \frac{Q_U}{Q_F}$  (5)

Onde:

 $\eta$  = Eficiência Térmica

 $Q_{IJ} = Calor \, útil \, (kW)$ 

Q<sub>F</sub> = Calor fornecido pelo Combustível (kW)

Considerando estas condições iniciais, a eficiência térmica em geradores de vapor é calculada através de duas maneiras distintas, os métodos direto e indireto, que serão apresentados a seguir.

### 2.11.1 Análise Pelo Método Direto

Segundo (VIANA, *et al* 2012), a eficiência pelo método direto é dada pela equação 6:

 $\eta_{(MD)} = \frac{\dot{m}_{(Vapor)} \times (h_{(Vapor)} - h_{(\acute{A}gua\;Ent)})}{\dot{m}_{(Comb)} \times q_f}$ 

Onde:

 $\eta_{(MD)}$  = Eficiência pelo Método Direto

m<sub>(Vapor)</sub> = Vazão mássica de Vapor (kg/s)

 $\dot{m}_{(Comb)}$  = Vazão mássica de combustível (kg/s)

 $h_{(Vapor)}$  = Entalpia do vapor produzido (kJ/kg)

 $h_{\text{(Água Ent)}} = \text{Entalpia da água de entrada (kJ/kg)}$ 

No momento que algumas destas variáveis for imprecisa ou não puderem ser obtidas, o valor da eficiência pode ser obtido pelo método indireto.

### 2.11.2 Análise Pelo Método Indireto

Segundo (NOGUEIRA, 2005) utiliza este método para a análise das perdas do gerador de vapor para obter o valor da eficiência. A maior parcela de perda está no fluxo de gases pela chaminé, que pode ser medido de maneira precisa e o valor da eficiência pode ser obtido com razoável precisão.

$$\eta_{(MI)} = 1 - \left[ \frac{\sum Perdas}{q_f} \right]$$
 (7)

Onde:

 $\eta_{(MI)}$  = Eficiência pelo Método Indireto

 $\sum$  Perdas = Somatório da Perdas (kg/s)

### 2.11.2.1 Perdas por Radiação e Convecção

Segundo Gaspar (2004), as perdas por radiação e convecção, também chamada de perdas pela parede, sendo calculado pela seguinte equação 8:

$$P_{(Rad + Conv)} = \frac{U \times A (T_S - T_a)}{3600}$$
(8)

Onde:

P<sub>(Rad +Conv)</sub> = Perdas por radiação e convecção (KJ.s<sup>-1</sup>)

 $U = U_R + U_C = Coeficiente \ global \ de \ transmissão \ de \ calor \ [KJ.(h.m^2.^{o}C)^{-1}]$ 

T<sub>S</sub> = Temperatura da superfície (°C)

 $T_a$  = Temperatura ambiente ( ${}^{\circ}$ C)

3.600 = Quantidade de segundo em 1 (uma) hora

Segundo (NOGUEIRA, 2005), a determinação das perdas por radiação e convecção pelo costado das caldeiras é, geralmente, complexa, devido às diversas e

complexas medições necessárias para sua obtenção. De maneira geral, adota-se que estas perdas variam entre 1% a 4% da energia fornecida.

### 2.11.2.1.2 Perdas devido aos Gases Secos no Chaminé

Para Nogueira (2005), esta perda é a mais significativa de todas, não que as outras sejam desprezíveis.

(9)

$$P_{(Chamin\acute{e})} = m_{(Gases)} \times cp_{(Gases\ Chamin\acute{e})} \times \left(T_{(Sa\acute{e}da\ Gases)} - T_{(Entrada\ do\ Ar)}\right)$$

Onde:

P<sub>(Chaminé)</sub> = Perdas dos Gases Secos (Kcal/kg)

m<sub>(Gases)</sub> = Vazão mássica dos Gases (kg/h)

cp<sub>(Gases Chaminé)</sub> = Calor Específico médio dos Gases da Chaminé (Kcal/kg°C)

T<sub>(Saída Gases)</sub> = Temperatura de Saída dos Gases (°C)

T<sub>(Entrada do Ar)</sub> = Temperatura de Entrada do Ar na Fornalha (°C)

# 2.11.2.1.3 Perdas associadas à Temperatura das Cinzas

Durante a queima de combustíveis sólidos, a saída de cinzas implica diretamente nas perdas devem ser calculadas para cada caso específico. Nogueira, ainda diz que este valor pode ser estimado pela equação (em kJ/kg de combustível), na qual o valor 1.170 representa um valor médio aproximado da entalpia sensível das cinzas e determinado pela equação 10.

(10)

$$P_{\text{(Cinzas)}} = m_{\text{R}} \times 1.170$$

Onde:

 $m_R = Massa$  de cinza obtida pela massa de combustível ([kg/kg] de comb.)

# 2.11.2.1.4 Perdas associadas ao Combustível não convertido presente nas Cinzas

Para determinar o valor exato deste tipo de perda é necessário realizar um ensaio para determinar o poder calorífico da mistura de cinzas e de combustível não convertido.

Na maioria das vezes isto não é possível, geralmente realizam-se análises da quantidade de carbono sem queimar nas cinzas, sendo um processo mais simples a ser realizado.

Estimado este valor, pode-se determinar esta perda em kJ/kg de combustível, pela equação 11, onde 33.780 representa um fator de correção (NOGUEIRA, 2005).

$$P_{\text{(Carbono nas Cinzas)}} = m_{\text{(Carbono nas Cinzas)}} \times 33.780$$

Onde:

m<sub>(Carbono nas Cinzas)</sub> = Massa de carbono presente nas cinzas ([kg/kg] de comb.)

# 2.11.2.1.5 Perdas por Purgas

Para Nogueira (2005), à perda de energia causada pelo fluxo de água retirada na purga, realizada para manter a concentração de sais na água dentro da caldeira em níveis toleráveis. A purga pode ser realizada de forma contínua ou periódica, durante as medições para determinar a eficiência de uma caldeira, a purga é interrompida exatamente para permitir uma adequada avaliação dos valores de desempenho especificamente associados aos processos de combustão e transferência de calor pode ser calculada pela equação 12:

(12)

$$P_{(Purgas)} = m_{(Purgas)} \times cp_{(\acute{A}gua)} \times (T_P - T_{Ref})$$

Onde:

 $m_{(Purgas)} = Vazão média de água purgada ([kg/kg] de comb.)$ 

 $cp_{(\text{\'agua})} = Calor$  específico da água no estado líquido (kJ/kg  $^{\rm o}C$  )

T<sub>P</sub> = Temperatura de saturação da água na pressão da caldeira (°C)

### 3 METODOLOGIA

À frente do conhecimento de todo o processo obtido com as pesquisas em livros, em normas regulamentadoras, trabalhos científicos, teses de mestrado e doutorado e artigos técnicos, se pontuaram o passo-a-passo do processo de dimensionamento de perda de carga.

### 3.1 MATERIAIS

Para efetuar o levantamento dos dados e equipamentos necessários para dimensionar as possíveis perdas de carga, necessitou-se utilizar plantas baixas para se determinar o comprimento total da rede de distribuição, buscou-se as especificações nos manuais e placas de identificações das unidades produtoras de vapor(caldeiras), ferramentas como exemplo termômetro infravermelho, software para identificar quantas curvas de 90° e de 45° existem na linha, mão de obra para se identificar quais eram curvas de 90° e 45°, ou seja, a quantidade presente na rede, mão de obra para de identificar quantos purgadores e quais eram os modelos. Utilizou-se também catálogos de fabricantes como exemplo Spirax Sarco, Bermo.

# 3.2 MÉTODOS

Para a análise das perdas na distribuição do vapor adotamos a análise de (Pederiva, *et al*, 2013), onde foram analisados as perdas seguintes.

# 3.2.1 Dimensionamento das perdas na Tubulação do Vapor Fornecido

Primeiramente a ser determinado a área do duto, sendo expresso pela equação 13:

$$A = \pi \times r^2$$

Onde:

Q = Vazão (kg/s)

 $\rho$  = Densidade (kg/m<sup>3</sup>) (Tabelado)

A = Área(m)

V = Velocidade (m/s)

r = Raio da Tubulação (m)

 $\pi$  = Constante Matemática (3,1416)

Após determina-se a velocidade do fluído na seção da tubulação. Para isso utiliza-se a seguinte equação 14, da vazão, isolando o fator velocidade (V):

 $V = \frac{Q}{\rho \times A} \tag{14}$ 

Logo deve-se realizar o cálculo de Reynolds, equação 15:

 $Re = \frac{V \times \emptyset}{\vartheta}$  (15)

Onde:

Re = Reynolds

V = Velocidade (m/s)

 $\emptyset$  = Diâmetro (m)

 $\vartheta$  = Viscosidade Cinemática do Fluido (Tabelado) (kg/m<sup>3</sup>)

Após deve ser calcular a Rugosidade Relativa, determinada pela equação 16.

(16)

3 Ø

Onde:

 $\varepsilon$  = Rugosidade Específica do Material

Com o cálculo da Reynolds e da Rugosidade Relativa, conseguimos encontrar no Gráfico de Moody o fator de atrito expresso pela letra (f), este valor obtido é adimensional.

0.015 0.0250.009 0.02 0.04 0.09 Wood stave Rubber, smoothed Copper or brass tubing Galvanized iron Wrought iron Commercial steel Laminal flow. 2(103) 3 4 5 6 8 104 0.003-0.03 0.0016 0.000033 0.000005 0.00085 0.00015 0.000017 0.00015 ₽ Roughness, E 0 0.9-9 0.5 0.01 0.0015 0.26 0.15 0.046 0.002 Complete turbulence, rough pipes 6 Smooth pipes 00 105 Reynolds number Re  $2(10^{5})$ w 4 56 9 2(106) 3 4 5 6 8 107  $\epsilon/D = 0.000005$  $2(10^7)$  3 4 5 6 0.0002 0.015 Relative roughness E/D

Tabela 8: Gráfico de Moody-Roose

(Fonte: Çengel, 2009)

# 3.2.2 Perda de carga na secção de Tubulação Reta

Ainda (Pederiva, *et al*, 2013), define o cálculo de perda de carga na secção de tubulação reta, temos a equação 17:

$$P_{\text{(Tub Ret)}} = f \times (L \div \emptyset) \times [(\rho \times V^2) \div 2]$$
(17)

Onde:

L = Comprimento da seção reta da tubulação (m)

# 3.2.3 Perda de carga nas Curvas de 45° e 90°

Na obtenção do cálculo da perda de carga seção das curvas de 90°, utiliza-se a equação 18:

$$P_{(Curvas 90)} = k \times [(\rho \times V^2) \div 2] \times n^o$$
(18)

Onde:

k = fator de perda de carga singular (90° = 0,9; 45° = 0,4).

 $n^o$  = Número de singularidades.

Para determinar a Perda de carga seção das curvas de 45°, a equação 19:

$$P_{\text{(Curvas 45)}} = k \times [(\rho \times V^2) \div 2] \times n^o$$
(19)

# 3.2.4 Perdas de Carga Total das Seções Retas e Singularidades

Perda de carga parcial:

$$P_{\text{(Parcial)}} = P_{\text{(Tub Ret)}} + P_{\text{(Curvas 90)}} + P_{\text{(Curvas 45)}}$$

# 3.2.5 Cálculo da perda do Fluxo de Calor pelo Isolamento Térmico

Para Çengel (2009), para podemos calcular a perda pelo isolamento considerase que seja uma convecção natural, pois a tubulação está no meio ambiente, para isso pode-se estipular esta perda pela seguinte equação 21, para cilindros.

$$Q_{\text{Conv}} = h \times A_{S} \times (T_{S} - T_{\infty})$$
(21)

Antes de se calcular a perda do fluxo de calor, Çengel (2009), diz que primeiramente é necessário estipular o coeficiente de película do ar, para isso deve-se considerar as seguintes parcelas para se obter o cálculo da perda do fluxo de calor.

Incialmente deve estipular o coeficiente de expansão volumétrica da substância, expresso pela equação 23, para isso deve-se calcular a Temperatura de filme, estipulado pela equação 22.

$$T_{f} = \frac{T_{(Externo\ Iso)} + T_{\infty}}{2}$$

$$\beta = \frac{1}{T_{f}}$$
(22)

Onde:

β = Coeficiente de Expansão volumétrica (K)

 $T_f$  = Temperatura de Absoluta ou de Filme (K)

Em seguida é necessário estipular o número de GRASHOF, estipulado pela equação 24.

$$Gr = g \times \beta \times \left(\frac{T_S - T_{\infty}}{\vartheta^2}\right)$$
 (24)

Com o valor obtido de Grashof, faz-se a seguinte relação do valor da razão de grashof com o número de Reynolds ao quadrado (Gr/Re²), para verificar a importância da convecção natural em relação a convecção forçada. A convecção natural é

insignificante quando  $(Gr/Re^2) < 0,1$  e para a convecção forçada é insignificante quando  $(Gr/Re^2) > 10$  e nenhuma é insignificante  $0,1 < Gr/Re^2 < 10$ .

Em seguida deve-se calcular Rayleigh, calculada pela equação 25, para cilindros concêntricos.

$$Ra = \frac{g \times \beta \times (T_S - T_{\infty}) \times Lc \times Pr}{\vartheta^2}$$
(25)

Onde:

g = Aceleração da Gravidade (9,81 m/s<sup>2</sup>)

Lc = Diâmetro do Tubo (m)

Pr = Nmero de Prandtl (tabelado)

 $\vartheta = \text{Viscosidade Cinemática } (\text{m}^2/\text{s})$ 

T<sub>S</sub> = Temperatura da Superfície (°C)

 $T_{\infty}$  = Temperatura do Ambiente (°C)

Quando o número de Rayleigh estiver entre  $10^{-5} \le Ra \ge 10^{12}$ , podemos calcular Nusselt pela equação 26:

$$Nu = \left\{0.6 + \left(\frac{0.387 \times Ra^{\frac{1}{6}}}{\left[1 + \left(\frac{0.559}{Pr}\right)^{\frac{9}{16}}\right]^{\frac{8}{27}}}\right)\right\}^{2}$$

O coeficiente de película pode ser estipulado pela seguinte equação 27:

$$h = Nu \times \left(\frac{k}{\emptyset}\right)$$
 (27)

### 3.2.6 Perdas por Purgadores

Segundo SARCO (2005), todos os purgadores são projetados para eliminar o condensado sem que haja a perda de vapor. De qualquer forma, o condensado pode ser

eliminado de diferentes maneiras e diferentes temperaturas, dependendo do método de operação do purgador.

Qualquer tipo de purgador pode falhar por inúmeras razões, caso se falhar na posição fechada, uma queda na produção será imediatamente sentida, e a ação de correção, tomada, porém se, o purgador falhar aberto ou parcialmente aberto, a produção não será afetada, mas vapor vivo de alto custo de geração será desperdiçado.

$$P_{(Purgadores)} = m_{(\acute{A}gua)} \times cp_{(\acute{a}gua)} \times (T_p - T_{Ref})$$
 (28)

Onde:

 $P_{(Purgadores)} = Perda por purgadores (KJ.s<sup>-1</sup>)$ 

m<sub>(Água)</sub>= Vazão mássica de água de alimentação (Kg.s<sup>-1</sup>)

 $cp_{(\'{a}gua)} = Calor \ espec{\'ifico} \ da \ \'{a}gua \ de \ acordo \ com \ Rersnick, \ \it{et al} \ (2007) \ \'{e} \ 4,19$   $KJ.[Kg \ (L) \ K]^{-1}$ 

 $T_p$  = Temperatura da água purgada (K)

 $T_{Ref} = Temperatura da água de alimentação (K)$ 

# 4 RESULTADOS E DISCUSSÕES

A perda de carga calculada na tubulação, envolvendo toda a sua extensão, desde a saída do coletor de vapor das caldeiras até o ponto de utilização do vapor até a fábrica. Para descobrir a perda de carga existente utilizou-se cálculos em várias etapas, pois a rede de distribuição contempla situações diferentes dentre modelos de curvas bem como as devidas perdas devido ao seu grande comprimento da seção da tubulação.

Para iniciar-se os cálculos foi preciso descobrir a vazão de vapor que se obtém do coletor das caldeiras, para isso foi utilizado a leitura do medidor de vazão vortex que existe no final da rede antes de ser consumido, encontrado um valor de 55 ton/h(0,63 kg/s), a figura 14 demonstra o modelo do medidor utilizado.

Também necessitou-se da pressão de trabalho, neste caso adotado o valor de pressão de operação, como se verifica na figura 15 a pressão é de 12 kgf/cm². Pelos manuais da caldeira, com sua capacidade máxima a 30.000 kg/h ou de 17.650.500,00 kcal/h.

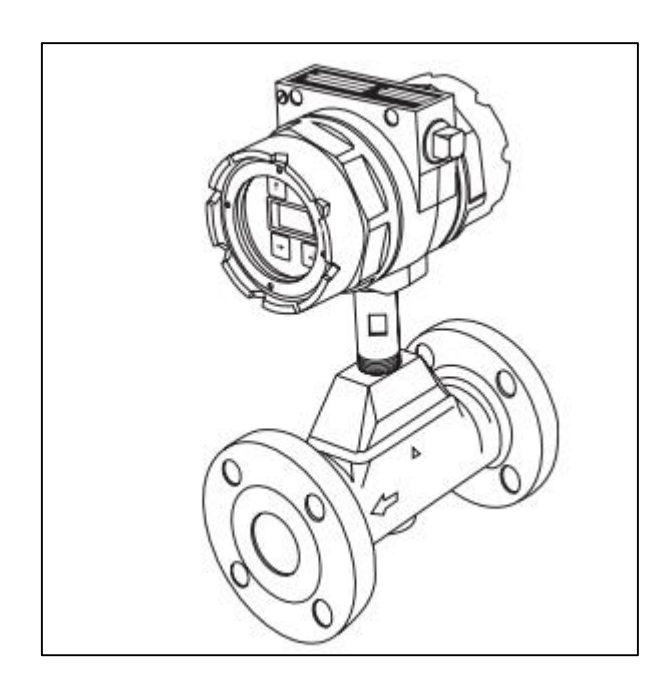


Figura 16: Medidor de Vazão Vortex

(Fonte: Catálogo Spirax Sarco, 2000)

O medidor de vazão do modelo PhD consiste em um medidor do tipo vortex que mede a vazão de fluido através da detecção da frequência de vórtices formados devido a

presença de um corpo defletor que os origina quando da passagem de fluido. No corpo defletor há um sensor piezoelétrico que converte o sinal de frequência (pulsos) em sinal elétrico, este modelo de medidor pode ser utilizado para vários tipos de fluidos de processo. Possui saída do tipo frequência ou saída de sinal 4-20 MiliAmper, proporcional à vazão.



**Figura 17:** Placa de Identificação da Caldeira (Fonte: O autor, 2016)

Antes de encontrarmos a velocidade do vapor dentro da tubulação, necessitouse escolher o tubo de acordo com as normas estabelecidas. Conforme anexo 6, adotamos o tubo de schedule 40, onde temos o  $\emptyset_{Interno} = 154,08$  mm, de  $\emptyset_{Externo} = 168,33$  mm, com espessura de 7,11 mm. Em seguida calculamos primeiramente a área interna do tubo pela equação 13.

Após conseguimos calcular a velocidade pela equação 14. Cálculo da área do duto com 6" de diâmetro, schedule 40:

(13)

$$A = 0.01864 \text{ m}^2$$

Para o cálculo da velocidade, precisamos interpolar os valores do volume específico e do rô, do vapor d'água, dados estes retirado do anexo 13 e 14, e interpolação para a obtenção da densidade, mostrado na Tabela 9 a seguir:

Tabela 9: Interpolação da Densidade

Temperatura (K)	Volume Específico (kg/m³)
400	0,5542
450	0,4902
458	ρ

$$\rho = 0.4822 \text{ kg/m}^3$$
(Fonte: Kreith, 1922)

Com o volume específico calculado, podemos dar sequência e determinar a velocidade, pela equação 14.

$$V = \frac{0.63 \text{ kg/s}}{0.01864 \text{ m}^2 \times 0.4822 \text{ kg/m}^3}$$
 (14)

$$V = 70,07 \text{ m/s}$$

Antes de podemos determinar o Reynolds, pela equação 15, utilizou-se do método de interpolação para determinar a viscosidade cinemática, como mostra a Tabela 10.

Tabela 10: Interpolação da Viscosidade Cinemática

Temperatura (K)	Viscosidade Cinemática (m²/s)
400	$24.2 \times 10^6$
450	$31,1 \times 10^6$
458	9

$$\theta = 32,20 \times 10^{-6} \text{ m}^2/\text{s}$$

(Fonte: Kreith, 1922)

Em sequência, calculou-se o número de Reynolds, equação 15:

$$Re = \frac{70,07 \text{ m/s} \times 0,15408 \text{ m}}{32,20 \times 10^{-6} \text{ m}^2/\text{s}}$$

$$Re = 3{,}3529 \times 10^5 \text{ m/m}$$

Logo, determinou-se a rugosidade relativa pela equação 16.

$$\frac{\varepsilon}{\varnothing} = \frac{0,045 \text{ mm}}{154,08 \text{ mm}}$$

$$\frac{\varepsilon}{\emptyset} = 0,0002920$$
 adimensional

Após de ter determinado a rugosidade relativa juntamente com o valor de Reynolds, estipulou-se empiricamente o valor do fator de atrito f, encontrado no diagrama de Moody-Rouse, encontrado na Tabela 8. O valor encontrado a seguir representado pela letra f.

$$f = 0.014$$

Com o fator de atrito definido, podemos calcular as perdas parciais, dadas pelas perdas da secção reta e curvas.

Perda de carga da secção Reta, determinamos pela equação 17:

(17)

$$P_{(\text{Tub Ret})} = \left[0.014 \times (815\text{m} \div 0.15408\text{m}) \times \left[(0.4822 \text{ kg/m}^3 \times 70.07^2) \div 2\right]\right]$$

$$P_{\text{(Tub Ret)}} = 87.659,87 \text{ Pa}$$

Nas singularidades obtemos os seguintes resultados, estipulados pela equação 18 e equação 19, na sequência.

Cálculo de Perda nas Curvas de 90°

(20)

$$P_{\text{(Curvas 90)}} = [0.9 \times [(0.4822 \text{ kg/m}^3 \times 70.07^2) \div 2]] \times 45$$

$$P_{\text{(Curvas 90)}} = 47.942,03 \text{ Pa}$$

Cálculo de Perda nas Curvas de 45°

 $P_{\text{(Curvas 45)}} = [0.4 \times [(0.4822 \text{ kg/m}^3 \times 70.07^2) \div 2]] \times 7$ 

$$P_{\text{(Curvas 45)}} = 3.314,51 \text{ Pa}$$

Podemos fazer um somatório das perdas, obtendo a primeira parcela, perda parcial, determinamos pela equação 20.

$$P_{\text{(Parcial)}} = 87.659,87 \text{ Pa} + 47.942,03 \text{ Pa} + 3.314,51 \text{ Pa}$$

$$P_{(Parcial)} = 138.916,41 \text{ Pa} \times (1,02 \times 10^{-5} \text{ kgf/cm}^2)$$

$$P_{(Parcial)} = 1,42 \text{ kgf/cm}^2$$

Aproximadamente:

$$P_{(Parcial)} = 1.5 \text{ kgf/cm}^2$$

Para mensurarmos esta perda em reais, realizou-se o seguinte cálculo, apresentado na tabela 11.

Tabela 11: Cálculo da Perda de Produção de Vapor/h

Pressão (kgf/cm²)	Capacidade de Produção (kcal/h)
12	17.650.500,00
1,5	X

x = 2.206.312,5 kcal/h

(Fonte: O autor, 2016)

Podemos estipular esta perda em massa de vapor perdido, para isto faremos o seguinte cálculo:

$$Q = m \times PCI_{(Combustível)}$$

$$m = \frac{Q}{PCI_{(Combustivel)}}$$

$$m = \frac{2.206.312,5 \text{ kcal/h}}{1.850 \text{ kcal/kg}}$$

$$m = 1.192,60 \frac{kg}{h}$$

Para efetuar o custo médio do vapor produzido pela empresa, leva-se em consideração todos os custos referentes ao Tratamento de Efluentes, custo médio da água, custo médio do cavaco, custo de energia, todos estes obtendo um valor médio final de R\$ 56,00 a cada 1.000 kg de vapor produzido. Com o valor do combustível estipulado pela empresa, podemos determinar a nossa perda em reais, identificado na tabela 12, chegando a um resultado final de aproximadamente R\$66,78/h de perda por hora devido à perda de pressão.

Tabela 12: Perda de Carga em Reais

Preço Vapor (R\$/h)	Quantidade Produzida (kg/h)
1.680,00	30.000,00
X	1.192,60

$$x = R$ 66,78/h$$

(Fonte: O autor, 2016)

Levando em conta este preço por hora podemos realizar uma perda anual, devido à queda de pressão. Para o cálculo levou-se em conta 24 horas em um dia, 30 dias em um mês e 12 meses no ano, visto na tabela 13.

Tabela 13: Cálculo da Perda Anual de Vapor

Preço da Perda Vapor (R\$/h)	Perdas por hora (h)
66,78	1
X	8.640,00(em 1Ano)

x = R\$ 576.979,2/ano

(Fonte: O autor, 2016)

Após terem efetuados os cálculos das perdas de carga pela secção reta e pelas singularidades, necessitou-se realizar as medições de temperatura do costado, realizado através do medidor de temperatura infravermelho, como mostra na figura 16.



**Figura 18:** Temperatura do Isolamento Medido (Fonte: O autor, 2016)

O modelo do medidor de temperatura utilizado foi o Minipa MT-350, mostrado na figura 17, características no anexo 7.



**Figura 19:** Medidor de Temperatura do Tipo Infravermelho (Fonte: O autor, 2016)

Como mostra a figura 16, a temperatura do isolamento apresentou um valor de aproximadamente de 60°C, adotado nos cálculos. Com a tabela 7, estipulou-se a temperatura de máxima de operação neste caso de 200°C, para se obter o valor de condutividade térmica do isolamento k=0,041 kcal/h.m.°C, a espessura de lã de rocha que se encontra na tubulação atual é de 50 mm.

Com todas as incógnitas estipuladas, iniciou-se os cálculos da parcela de perda do fluxo de calor pelo isolamento térmico, conforme os cálculos seguintes.

Primeiramente calculou-se a temperatura de filme pela equação 22, a média entre a temperatura externa do isolamento e a temperatura do ambiente, este adotado 25°C.

$$T_{\rm f} = \frac{(60 + 25)^{\circ}C}{2}$$
 (22)

$$T_f = 42,5^{\circ}C$$

Determinado a temperatura de filme, em seguida estipulou-se o coeficiente de expansão volumétrica, pela equação 23.

$$\beta = \frac{1}{(42,5^{\circ}C + 273)K}$$
 (23)

$$\beta = 3.17 \times 10^{-3}$$

Para efetuar o cálculo de Rayleigh, precisamos encontrar na tabela o número de Prandtl, que pode ser interpolado com os valores do anexo 12, dados esses interpolados levando em conta a temperatura de filme 42,5°C, verificado na tabela 14, a seguir.

Tabela 14: Interpolação do Número de Prandtl

Temperatura (°C)	Número de Prandtl (Pr)
40	0,7255
42,5	Pr
45	0,7241

Pr = 0.725

(Fonte: Kreith, 1922)

Em seguida interpolou-se a viscosidade cinemática do ar, mostrado na tabela 15.

Tabela 15: Interpolação da Viscosidade Cinemática

Temperatura (°C)	Viscosidade Cinemática (m²/s)
40	1,702 x 10 <sup>-5</sup>
42,5	θ
45	1.75 x 10 <sup>-5</sup>

$$\theta = 1,726 \text{ x } 10^{-5} \text{ m}^2/\text{s}$$

(Fonte: Kreith, 1922)

Com a viscosidade mensurada, calculou-se o número de Rayleigh, pela equação 25.

$$Ra = \frac{9,81 \frac{m}{s^2} \times 3,17 \times 10^{-3} \times \{(60 + 273) - (25 + 273)\} \times (0,15408 \, m)^3 \times 0,725}{\left(1,726 \times 10^{-5} \, \frac{m^2}{s}\right)^2}$$

$$Ra = 9.69 \times 10^6$$

Logo, realizou-se o cálculo de Nusselt, pela equação 26.

 $Nu = \left\{ 0,6 + \left( \frac{0,387 \times (9,69 \times 10^6)^{\frac{1}{6}}}{\left[ 1 + \left( \frac{0,559}{0,725} \right)^{\frac{9}{16}} \right]^{\frac{8}{27}}} \right) \right\}^2$ 

$$Nu = 28,07$$

Com todas as incógnitas resolvidas, calculou-se o coeficiente de película do ar, para a temperatura de 25°C, utilizando a equação 27.

 $h = 28,07 \times \left(\frac{0,041 \text{ kcal/h. m. }^{\circ}\text{C}}{0,15408 \text{ m}}\right)$  (27)

$$h = 7,47 \frac{\text{kcal}}{\text{h. m}^2. \, ^{\circ}\text{C}}$$

A partir disto, estipulou-se então a perda do fluxo de calor, pela equação 21.

(21)

$$Q_{Conv} = 7,47 \frac{kcal}{h. m^2. ^{\circ}C} \times (\pi \times 0,15408m \times 815m)[(60 - 25)^{\circ}C]$$

$$Q_{Conv} = 103.143,63 \frac{kcal}{h}$$

Estipulado a perda de calor do isolamento para o ambiente, estipulou-se a perda em reais da perda pelo isolamento, na tabela 16.

Tabela 16: Cálculo da Perda pelo Isolamento em Reais

Preço Vapor (R\$/h)	Capacidade de Produção (kcal/h)
1.680,00	17.650.500,00
X	103.143,63

x = R\$ 9,81/h

(Fonte: O autor, 2016)

A tabela 17, mostra o cálculo anual para a perda de calor pelo isolamento em reais, utilizando os mesmos critérios de quantidade de dias, meses e ano, do cálculo mensurado anteriormente.

Tabela 17: Cálculo da Perda pelo Isolamento em Reais/ano

Preço da Perda Vapor (R\$/h)	Perdas por hora (h)
9,81	1
X	8.640,00(em 1Ano)

x = R\$ 84.758,4/ano

(Fonte: O autor, 2016)

Em seguida realizou-se o cálculo de perda pelos purgadores. Antes de tudo foram necessários encontrar a vazão do purgador através da tabela 18.

Com a pressão da rede de 12 kgf/cm<sup>2</sup>, o modelo que se encontra na instalação é o TDS52 ¾" BSP, logo nossa curva de avaliação é a curva C como estipula o fabricante. Para efeito de cálculo consideramos que um dos purgadores esteva dando passagem de vapor e do próprio condensado, ou seja, um dos nove purgadores instalados na linha estava com defeito, dando passagem não só do condensado, mas também do vapor vivo.

В D F Pressão Diferencial (bar)

**Tabela 18:** Gráfico de escolha de Vazão de Purgadores

(Fonte: Catálogo Spirax Sarco, 2000)

Analisando o gráfico, com os dados estabelecidos adotamos a vazão de aproximadamente 650 kg/h. De acordo com Sarco (2005), consideramos de 20 a 50% deste valor obtido no gráfico. Para efeitos de cálculos, adotamos 20%, logo obtemos o valor da vazão de 130 kg/h.

Assim como as outras perdas pode-se mensurar em reais, a vazão de vapor direto pelo purgador, mostrado na tabela 19.

Tabela 19: Cálculo da Perda em Reais do Purgador

Preço Vapor (R\$/h)	Quantidade Produzida (kg/h)
1.680,00	30.000,00
X	130

x = R\$ 7,28/h

(Fonte: O autor, 2016)

Conforme as outras perdas, estipulou-se os valores referente a um ano, como mostra a tabela 20.

Tabela 20: Perda do Purgador em Reais/ano

Preço da Perda Vapor (R\$/h)	Perdas por hora (h)
7,28	1
X	8.640,00(em 1Ano)

x = R\$ 62.899,2/ano

(Fonte: O autor, 2016)

Calculou-se então, o somatório das perdas em reais, realizado pela tabela 21.

Tabela 21: Somatório das Perdas em Reais/ano

Perda Considerada	Preço da Perda Vapor (R\$/ano)
Perda pela queda de Pressão	576.979,2
Perda pelo Isolamento Térmico	84.758,4
Perda pelo Purgador com passagem direta	62.899,2

x = R\$ 724.636,8/ano

(Fonte: O autor, 2016)

Buscando reduzir a perda da pressão devido a sua grande extensão, estipulouse a substituição das curvas de 90°, para curvas de 45°, obtendo os resultados a seguir.

Calculo da substituição da curva de 90° para 45°, pela equação 18, utilizando o fator para curva de 45°.

$$P_{\text{(Curvas } 90 \rightarrow 45)} = [0.4 \times [(0.4822 \text{ kg/m}^3 \times 70.07^2) \div 2]] \times 45$$

$$P_{\text{(Curvas } 90 \rightarrow 45)} = 21.307,57 \text{ Pa}$$

Como a perda das curvas de 45º já foram mensuradas, fez-se então o somatório das perdas pela secção reta da tubulação, por singularidades, pela equação

$$P_{\text{(Após Substituição)}} = 87.659,87 \text{ Pa} + 21.307,57 \text{ Pa} + 3.314,51 \text{ Pa}$$

$$P_{(\text{Ap\'os Substitui\'ç\~ao})} = 112.281,95 \text{ Pa} \times (1,02 \times 10^{-5} \text{ kgf/cm}^2)$$

$$P_{(Parcial)} = 1.14 \text{ kgf/cm}^2$$

Tabela 22: Cálculo da Perda de Produção de Vapor/h após a Substituição

Pressão (kgf/cm²)	Capacidade de Produção (kcal/h)							
12	17.650.500,00							
1,14	X							

$$x = 1.676.797,5 \text{ kcal/h}$$
(Fonte: O autor, 2016)

Calculou-se a massa de vapor perdida por hora.

$$m = \frac{1.676.797,5 \text{ kcal/h}}{1.850 \text{ kcal/kg}}$$

$$m = 906,37 \frac{kg}{h}$$

Determinou-se a perda em reais, identificado na tabela 23, chegando a um resultado final de aproximadamente R\$50,75/h de perda devido à perda de pressão.

Tabela 23: Perda de Carga em Reais após Substituição

Preço Vapor (R\$/h)	Quantidade Produzida (kg/h)
1.680,00	30.000,00
X	906,37

x = R\$ 50,75/h

(Fonte: O autor, 2016)

Em sequência, realizou-se o cálculo da perda anual, com os mesmos critérios adotados anteriormente referente aos períodos adotados para estipular as perdas em reais, identificado a perda após a substituição das curvas de 90º para curvas de 45º na tabela 24.

Tabela 24: Cálculo da Perda Anual de Vapor após Substituição

Preço da Perda Vapor (R\$/h)	Perdas por hora (h)
50,75	1
X	8.640,00(em 1Ano)

x = R\$ 438.541.46/ano

(Fonte: O autor, 2016)

### **5 CONSIDERAÇÕES FINAIS**

Ao término deste trabalho, foram determinados as perdas na distribuição de vapor contemplando as singularidades, trecho reto, isolamento térmico e a perda por um purgador que apresentava defeito quando realizado o estudo. Se comprovou através dos cálculos, os quais apresentaram uma grande diferença de perda de pressão entre a rede atual com curvas de 90° comparando-se com a substituição para as curvas de 45°.

Todo o dimensionamento das perdas, seguiu-se literaturas e catálogos de empresas especializadas no ramo de tubulação de vapor. Ao analisar os resultados obtidos, pode-se afirmar que a rede atualmente instalada, apresenta uma perda de carga de 1,5 Kgf/cm² ao longo de toda a sua extensão de 815 metros e suas singularidades, tendo influência diretamente na produtividade do vapor fabricado pela empresa.

Apenas com a substituição das curvas de 90°, mostrou-se uma diferença de 34% de redução de perda de pressão comparado a pressão inicial, ou seja, a perda de carga era de 1,5 Kgf/cm² passou a ser de 1,14 Kgf/cm².

Com essa redução de 0,36 Kgf/cm² de pressão, possibilitaria impactos positivos no meio ambiente, tais como, combustível (lenha, água), tratamento de efluentes, custos com energia, haja vista que as empresas estão cada vez mais comprometidas com ações de proteção ao meio ambiente.

Para a análise final, havendo a substituição das singularidades mencionadas, pode-se ter uma redução de custo anual de R\$ 138.437,74 apenas pela diferença de perda de pressão calculada.

#### 6 SUGESTÕES PARA TRABALHOS FUTUROS

A distribuição do vapor ocorre por um sistema de centro de distribuição, ou seja, as unidades produtoras enviam o vapor a um local no qual é distribuído de acordo com a necessidade de cada fábrica.

A central de distribuição envia o vapor para nove fábricas, o vapor então fornecido e é transportado por tubulações. Essas tubulações são de diâmetros diferentes e comprimentos diferentes, consequentemente o isolamento se torna diferente se tratando de quantidade e não de material. Sugere-se para trabalhos futuros, calcular a eficiência das caldeiras antes deste sistema de coletor de vapor, levando em considerações os cálculos mencionados para a eficiência nos geradores de vapor, podendo ser analisados por ambos os métodos, direto ou indireto.

Sugere-se também, realizar o levantamento de custos de mão-de-obra, com empresas que prestam serviços industriais, para que se faça um comparativo com o ganho em reais das substituições das curvas de 90° para as de 45°, podendo assim, realizar uma técnica muito utilizada nas empresas para análise do prazo de retorno do investimento em um projeto. Podemos completar que o PayBack é o tempo de retorno do investimento inicial até o momento no qual o ganho acumulado se iguala ao valor deste investimento, normalmente este período é medido em meses ou anos.

#### 7 REFERÊNCIAS BIBLIOGRÁFICAS

AGUIAR, W. Eficiência energética de um gerador de vapor através do método indireto. Editora: Acta Iguazu, Cascavel. Francisco Beltrão, 2014.

ARMSTRONG. **Catálogo de Produtos Armstrong-Simplificado.** Disponível em < <a href="http://www.rklinger.com.br/Site/pdf/armstrong.pdf">http://www.rklinger.com.br/Site/pdf/armstrong.pdf</a> >. Acesso em 05 de junho de 2016.

BIZZO, Waldir A. **Geração, Distribuição e Utilização de Vapor.** São Paulo, UNICAMP, 2003.

BORGNAKKE, C., SONNTAG, R. E. **Fundamentos da Termodinâmica.** Tradução da 8ª edição norte Americana. Editora: Edgard Blucher Ltda, São Paulo, 2013.

BRUNETTI, F. **Mecânica dos Fluidos.** 2. Ed. Revisada. São Paulo, Pearson Prentice Hall, 2008.

ÇENGEL, Yunus A. TRANSFERÊNCIA DE CALOR E MASSA. 3. Ed. – SÃO PAULO – SP: McGraw-hill Interamericana do Brasil Ltda, 2009.

CENTRAIS ELÉTRICAS BRASILEIRAS, FUPAI/EFFICIENTIA. **Eficiência Energética no Uso de Vapor**. Rio de Janeiro: Eletrobrás, 2005.

CONFEDERAÇÃO NACIONAL DA INDÚSTRIA (CNI); ELETROBRÁS; PROCEL INDÚSTRIA. **Eficiência Energética na Indústria.** Brasília: CNI, 2009.

ELEKTRO, Eletricidade e Serviços S.A. Manual Elektro de Eficiência Energética.

GASPAR, C. **Eficiência Energética na Indústria.** Cursos de Utilização Racional de Energia, Agencia para a Energia – ADENE. Gaia, 2004.

INCROPERA, Frank P., DEWITT, David P., BERGMAN, Theodore L., LAVINE, Adrienne S. FUNDAMENTOS DE TRANSFERENCIA DE CALOR E DE MASSA. 6. Ed. - RIO DE JANEIRO – RJ: LTC – Livros técnicos e científicos. Editora Ltda, 2007.

KREITH, F., BOHN, M. S. **Princípios de Transferência de Calor.** Revisão Técnica Flávio Maron Vichi e Maria Teresa Castilho Mansor. São Paulo. Pioneira Thomson Learning, 2003.

MARQUES, M. C. S., HADDAD, J., MARTINS, A. R. S. Conservação de energia: Eficiência Energética de Equipamentos e Instalações. 3. Ed. Itajubá, MG: FUPAI, 2006.

MARTINELLI JUNIOR, L. C. Geradores de Vapor. Rio Grande do Sul: Ijuí, 2003.

MICHELS, A. **3º Semana Internacional das Engenharias da Fahor.** Ed. Única. Rio Grande do Sul, FAHOR, 2013.

NOGUEIRA, L. A. H. **Eficiência Energética no Uso de Vapor**. Rio de Janeiro: Eletrobrás, 2005.

OLIVEIRA, L. L., SALUM, M. D., TEIXEIRA, T. H. A., COUTO, R. L., **UNESP** – **Universidade Estadual Paulista TRANSMISSÃO DE CALOR Convecção forçada e natural.** São Paulo: 18 de novembro de 2006.

PEDERIVA, A. C., MATTIONI, R. Estudo Para Melhoria da Eficiência de uma Tubulação de Vapor para uma Fábrica de Ração Animal. Rio Grande do Sul: Horizontina, FAHOR, 2013.

REDDO, A. M., **Apostila de Tecnologia do Calor I.** Fundação Técnico Educacional Souza Marques, Fevereiro de 2008.

ROCHA, C. A., NOGUEIRA, L. A. H., NOGUEIRA, F. J. H. Eficiência Energética no uso do Vapor, Manual Prático Procel. Rio de Janeiro: Eletrobrás, 2005.

RUSSEL, J. B., 1929. **Química Geral**, volume 1. Tradução e revisão técnica Márcia Guekezian, *et al.* 2 ed. São Paulo: Mackon Books, 1994.

SARCO, Spirax. Curso de Projetos de Sistema de Vapor. 2005.

SARCO, Spirax. Catálogo Técnico Simplificado. 2000.

ZANELLA JUNIOR, E. A. **Caldeiras.** Cascavel: Fundação Assis Gurgacz, 2013. Disponível em < <a href="http://www.eliseuzanellajunior.com/#!apostilas/cyhx">http://www.eliseuzanellajunior.com/#!apostilas/cyhx</a> >. Acesso em 05 de junho de 2016.

ZATTONI, Célio Carlos. Materiais para tubulação. São Paulo, FATEC, 2008.

VIANA, A. N. C., BORTONI, E.C., NOGUEIRA, F. J. H., HADDAD, J., NOGUEIRA, L. A. H., VENTURINI, O. J., YAMACHITA, R. A. **Eficiência Energética: Fundamentos e Aplicações.** 1º Edição. São Paulo: Campinas, 2012.

#### **ANEXOS**

#### Anexo1: Purgador Termodinâmico de Fluxo Distribuído com Filtro Incorporado



TI-D4-01 BR Rov.00

## Purgador Termodinâmico de Fluxo Distribuído com Filtro Incorporado

#### Descrição

O IDS52 é um purgador termodinâmico de fluxo distribuído com fitro incorporado para vapor saturado fabricado em aço inoxidável martensitico, especialmente projetado para descargas de condensado relativamente baixas, como drenagem de linhas de venor.

Possui isotempa incorporada que protege o purgador contra intempéries. O fluxo distribuido garante uma descarga de condensado mais homogênes, assegurando uma maior durabilidade do produto. O fitto incorporado ao corpo do purgador reduz o espeço de instalação e garante a retenção de sujeiras, antes de sua chemistra a seda. sua chegada a sede.

Certificação
Este produto está disponível com certificados EN 10204 2.1 e EN 10204 2.2 para corpo, isotampa e corpo do fiftro. Também está disponível certificação EN 10204 3.1, mediante uma taxa adicional. Estes certificados serão fornecidos mediante solicitação do cliente. Nota: Todas as solicitações de certificação e requisitos de inspeção deverão ser indicados no momento da cotação.

#### Diâmetros e Conexões

%", %" e 1" Roscado BS 21 BSPP, BSPT ou ASME B.1.20.1 NPT Flangeado ASME B16.5 150#, 300# e 600# (flanges adaptadas)

#### Limites de Pressão / Temperatura



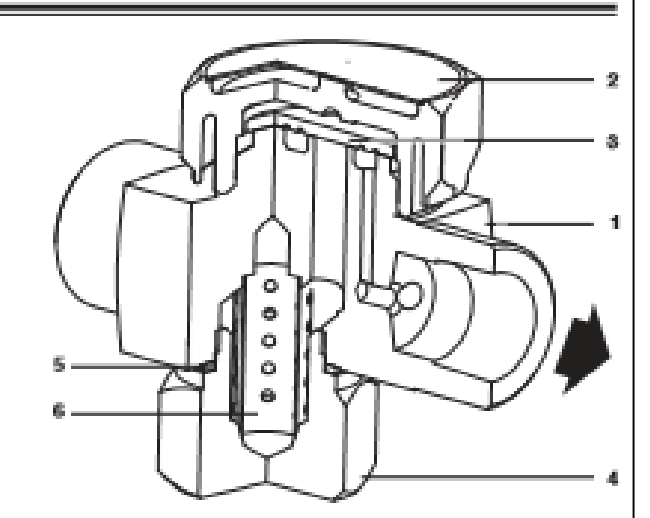
A-A Flangeado ASME 150# B-B Flangeado ASME 300#

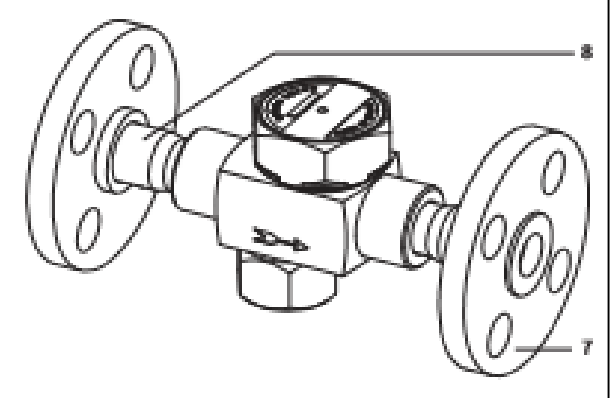
PMO	Pressão Máxima de Ópera	ação	42 bar g
TMO	Temperatura Máxima de O	peragão	425°C
Temper	ratura Minima de Operação		0°C
Contra-	pressão Máxima	80% da	pressão de entrada
Pressie	o Minima de Operação		0,25 bar g
Note: P	ara outras condições de ope	вгаційо соляц	ite a Spirax Sarco.

#### Como solicitar

Sempre solicitar TDS52 informando o diámetro e tipo de conexão.

Example: 1 Purgador Termodinâmico Spirax Sarco, modelo TDSS2, diâmetro nominal 1°, conexões roscadas BSPP.





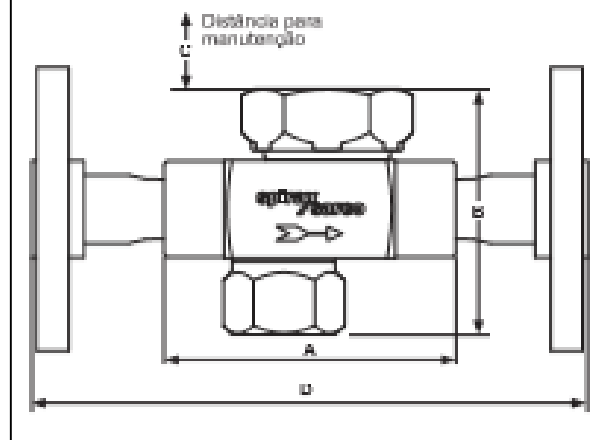
#### Materiais

No.	Paree	Marerial	Especificação
1	Corpo	Ago Inoxidável	AISI 420 F
2	lactampa	Ago Inoxidável	ASTM A 743 Gr. CA40
3	Disco	Ago Inoxidável	AISI 420
4	Corpo do filtro	Aço Inoxidável	AISI 420 F
5	Junta do filtro	Grafite revestido	com Al 316
8	Tela 20 mesh	Ago Intolidável	AISI 316
T	Flange	Ago Carbono	ASTM A 105
8	Tubo	Aço Carbono	ASTM A 106 Gr. B

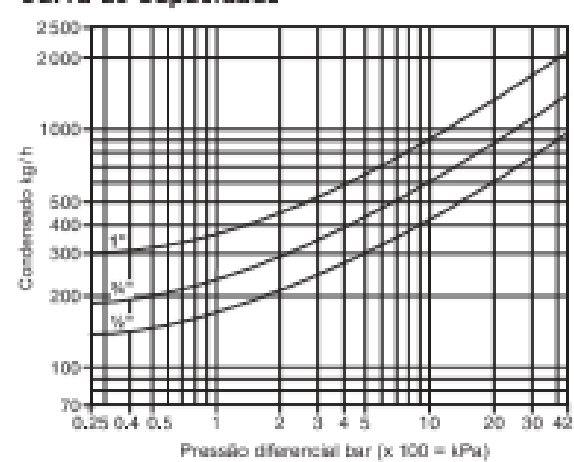
Nos reservamos o direito de resilizar alterações resite documento sem aviso prêvio.

#### Anexo 2: Purgador Termodinâmico de Fluxo Distribuído com Filtro Incorporado

#### Dimensões/pesos (aproximados) em mm and kg D Pesso 1504 300# 800# (roscado) 83 45 168 181 194 0,8 86 87 45 185 195 212 1,1 105 112 214 246 45 233 2.0



#### Curva de Capacidade



# Informações de Segurança, Instalação e Manutenção Proferencialmente o purgador deve ser instalado em linha horizontal. Para maiores detalhes veja o Manual de Instalação e Manutenção (IM-G1-01) formecido com o produto.

Peças de Reposição
As peças de reposição disponíveis estão marcadas em linhas
sólidas na figura abaixo.

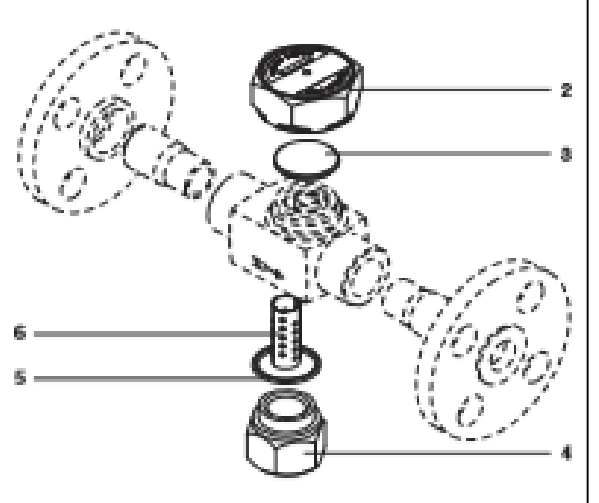
#### Pecas de reposição disposityeis

Disco	3
Conjunto da tampa	2
Conjunto da tela.	5, 6
Conjunto corpo do filtro	4, 5, 6

#### Como solicitar

Sempre solicitar pegas de reposição usando a descrição fomecida na coluna da tabela de pegas de reposição e informar tamenho e tipo do do purgador. Exemplo: 1 disco para TOS62 %".

Nota: No momento da reposição, aplique uma graxa para altas temperaturas na resca da tampa.



#### lorques de aperto recomendados

ltem	Diámetro	N m
2	96° 96° 1°	120 ± 20 190 ± 20 170 ± 20
4	50°, 36° 1°	170 ± 20 190 ± 20

#### Anexo 3: Medidor de Vazão Vortex





TI-D546-05 BR Rev.00

## Medidor de Vazão PhD Vortex

#### Descrição

O medidor de vazão PhD consiste em um medidor do tipo vonex que mede a vazão de fluido através da detecção da frequência de vóntices formados devido a presença de um corpo defletor que origina os vóntices quando da passagem de fluido. No corpo defletor há um sensor piezociátrico que convene o sinal de frequência (pulsos) em sinal elértico.

O medidor pode ser utilizado para vários tipos de fluidos de processo. Possul saida do tipo frequência ou saida de sinal 4-20 mA, proporcional à vazão.

#### Recursos

- Não possul paries môveis
- É possível remover o sensor sem necessidade de parar o processo para pressão abatxo de 52 barg.
- Simples, sem jurnas internas e sem possibilidade de vazamento
- Elevada exaridão e rangeabilidade
- Para rubulações de 1" a 12".
- Temperatura de operação até 398°C
- EZ Logic<sup>m</sup> imerface com o usuário

#### Especificações de Performance Exandão

Líquidos ± 0.7% da vazão Gás e vapor ± 1.0% da vazão

Versão de saida analógica Adicionar » 0.196 fundo de escala

#### Repetbilidade

a 0.15% da vazão

#### Tempo de resposta

Ajustável de 1 a 100 segundos (versão de salda analógica)

#### Fator K - Correção de Temperatura

O fator K do medidor diminul em 0,29% para cada 100°F (37,7°C) de aumento de temperatura acima de 70°F (21,1°C). O inverso é verdadeiro abaixo de 70°F (21,1°C).

A programação da remperatura de operação na pane eleurônica do medidor corrige o K-factor automaticamême.

#### Especificações de Operação

#### Tipos de fluidos

Liquido, gás e vapor

#### Tubulações

1" a 12"

#### Temperature Limite de Processo

40 a 398°C

#### Pressão de Processo

Flange

ANSI Classe 150, 300 ou 600

#### Wafer

Os medidores do tipo wafer são classificados de acordo com o flange para um máximo de ANSI Classe 800



#### Especificação Invólucro Aprovação NEMA – 4X

#### Temperatura Ambiente Limite Normal

ormai --28 a 60°C

#### Opção com display

0 a 60°F - 60°C

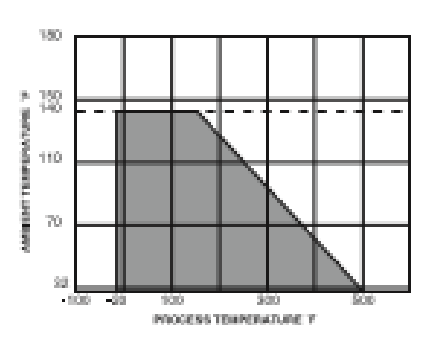


Figura 1.

Range de temperatura ambiente para montagem local da parte elementos.

#### Umidade Ambiente Limite

5- 100% umidade relativa

#### Alimentação

18 - 40 VDC; maxima porência consumida: 1 war.

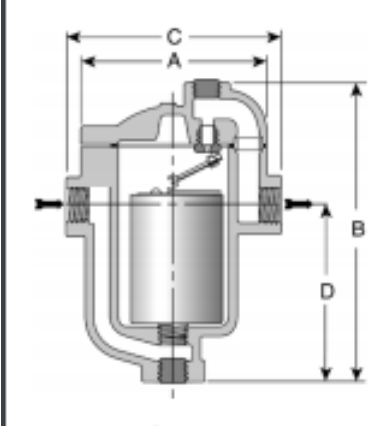
Anexo 4: Purgador do Tipo Balde Invertido Série 800-813, Armstrong

## Série 800-813 Armstrong



#### Purgador de Balde Invertido

Ferro Fundido, para Instalação Horizontal Para pressões até 17 bar (250 psig) - Capacidade até 2.000 kg/h (4.400 lb/h)



#### Condições máximas de operação

Pressão máxima permitida (projeto do vaso): 17 bar a 232°C (250 psig a 450°F)

Pressão operacional máxima: Modelo 800: 10 bar (150 psig) Modelo 811-813: 17 bar (250 psig)

#### Conexões

Disponíveis em rosca NPT e BSP

#### Materiais

Carpa: ASTM A48 Classe 30

Partes internas: todas em aço inoxidável - 304

Plug de teste: aço carbono

#### Opcionais:

- Válvula interna de retenção em aço inoxidável
- Balde de ventilação térmica
- · Pop drain em ago inoxidável
- · Conexões para teste
- · Dreno térmico Fio de arraste

## Especificação

Purgador de vapor tipo balde invertido, em ferro fun- . Diâmetro e tipo da conexão com a tubulação dido, com ventilação continua de ar à temperatura do . Pressão máxima de trabalho ou o diâmetro Válvula e base: ago cromo endurecido - 17-4PH vapor, mecanismo flutuante em ago inoxidivel e orificio do orificio de descarga no topo do purgador.

#### Como Pedir

Especifique:

- Número do modelo

- Opcionais necessários

Série 800-813 -	Purgadore	s de entra	da lateral e	saída late	ral			
№ do Modelo	80	00*	8	11	8	12	8	13
Constan	pol	mm	pol	mm	pel	mm	pol	mm
Conexides Plug de teste A B	1/2, 3/4	15, 20	1/2, 3/4, 1	15, 20, 25	1/2, 3/4	15, 20	34,1	20, 25
Plug de teste	1/4	6	1/4	6	1/2	15	34	20
A	3-3/4	95.2	3-34	95.2	5-5/8	143	7	178
В	5-7/16	138	6-7/8	175	9-1/16	230	11-3/4	298
С	5	127	5	127	6-1/2	165	7-3/4	197
D	2-3/4	70	41/4	108	5-3/8	137	7-1/32	179
Número de paratusos					6			
Peso (kg)	2	3	2	.7	6	.8	12	2.5

Todas as dimensões e pesos são aproximados. Utilizar desenho certificado para obter as dimensões exatas. Projeto e materiais sujeitos a alterações sem aviso prévio.

<sup>\*</sup> Não pode ser fornecido com balde de ventilação térmica e válvula de retenção.
\*\* Acrescentar o sufixo "CV" ao número do modelo para a válvula interna de retenção e "T" para balde de ventilação térmica.

Anexo 5: Purgador Termodinamico Modelo CD-33, Armstrong





## Purgador Termodinâmico

Para vapor até 42 bar (600 psig) - Capacidade até 1134 kg/h (2500 lb/h)





#### Vantagen

- Projeto com três crificios de descarga
- · Desgaste mínimo com ciclo controlado
- À prova de congelamentos
- · Base e disco endurecidos

#### Especificação

Purgador de vapor tipo termodinámico em ago inoxidável, base e disco integrados com superficies endunecidas e acabamento em ago inox banhado a níquel. Quando necessário, o purgador possuirá filtro "V" integrado, válvula de purga ou cobertura isoladora de proteção contra chuva. Pressão máxima permitida (projeto do vaso) deve ser de 63 bar a 400°C (915 psig a 752°F). Pressão operacional máxima deve ser de 42 bar a 400°C (600 psig a 752°F).

Modelo CD-33												
Modelo n <sup>g</sup>	CD-33			0-33 (CD-33S (of filtro)				CD-33L (baixa capacidade)		CD-33L (baixa capacidade of filtro)		
Consides	pol	mm	pal	mm	pol	mm	pol	mm	pol	mm	pal	mm
Consider	1/2, 3/4	15,20	1	25	1/2, 3/4	15, 20	1	25	1/2, 3/4	15,20	1/2, 3/4	15, 20
A	1-7/16	37	1-3/4	44	1-7/16	37	1-34	44	1-7/16	36	1-7/16	38
В	2-1/2	63	3-1/8	79	4-164	108	4-3/4	121	2-1/2	63	4-1/4	108
C	3-5/16	84	3-15/16	100	3-1/12	89	4-1/8	105	3-5/16	84	3-1/2	89
D	1-3/4	44	2-1/4	57	1-3/4	44	2-1/4	57	1-3/4	44	1-34	44
E	-		-		3	76	3	76	-	-	3	76
F	-	-	-	-	1/4 NPT	6	1/4 NPT	6	-	-	1/4 NPT	6
G	-		-		3-1/2	89	3-1/2	89	-	-	3-1/2	89
Peso (kg)	1.4 (	0.64)	2.5	(1.1)	2.2	(1.0)	3.25	(1.5)	1.41 (0.64) 2.2 (1.0)			1.0)
Pressão máxima de projeto					63	bar @ 400	°C (915 paig	@ 752°F)				
Pressão mínima de operação (bar)						0.24	ber (3.5 psi	g)				
Pressio míxima de operação (bar)					41	ber @ 252	°C (600 paid	@ 486°F)				

Lista de Materiais						
Peça	Material					
Corpo	ASTM A743 Gr. CA40					
Татра	ASTM A743 Gr. CA40					
Disco	ASTM A276 Gr. 420					
Tela do tibro	Aço Inox T-304, com trama 30 x 30 Mesh					
Tela de retenção	ASTM A743 Gr. CA40					
Plug de descarga (apenas no CD-33S)	Aço carbono					
Opcionais						
Peça	Material					
Válvula de descarga	Ago inax					
Cobertura de proteção contra chuva (apenas DN 10" e 16")	Ago inax					

Todas as dimensões e pesos são aproximados. Utilizar o desenho certificado para obter as dimensões evatas. Projetos e materiais estão sujeitos a alteração sem aviso prévio.

ww.fdinger.com.br

Anexo 6: Tabela de Tubos Schedule 40

Vallourec / Tubos Estruturais, Seção Circular, Quadrada e Retangular / p.53

## Seção Tubular Circular (TC)



Dimensões externas	Espessura da parede	Massa por Unidade de Comp.	Área da Seção Transversal	Momento de Inércia	Raio de Giração	Módulo de Resistência Elástico	Módulo de Resistência Plástico	Const. Torção	Módulo de Resistência à Torção	Área de superficie por unidad de Comp.
d	t	m	A	t, et,	g e g	W.= W,	Z,= Z,	J	W,	U
(mm)	(mm)	(kg/m)	(cm²)	(cmf)	(cm)	(cmf)	(cm²)	(cm²)	(cm²)	(mVm)
	5,0	16,8	21,4	498	4,82	70,5	92,9	996	141	
	5,6	18,7	23,9	550	4,80	77,9	103	1.101	158	
	6,4	21,3	27,1	618	4,77	87,5	117	1.237	175	
141.3	7,1	23,5	29,9	676	4,75	95,6	128	1.352	191	
	0,8	26,3	33,5	747	4,72	108	142	1.494	211	
	8,8	28,8	36,6	807	4,69	114	155	1.615	229	0,444
141,0	10,0	32,4	41,2	894	4,66	127	173	1.788	253	0,144
	11,0	35,3	45,0	982	4,62	138	187	1.925	272	
	12,5	39,7	50,6	1.059	4,58	150	208	2.117	300	
	14,2	44,5	56,7	1.159	4,52	164	230	2.318	328	
	18,0	49,4	63,0	1256	4,47	178	253	2.512	356	
	17,5	53,4	68,1	1.330	4,42	188	270	2.660	377	
	5,0	20,1	25,7	856	5,78	102	133	1.712	203	
	5,6	22,5	28,6	948	5,76	113	148	1.897	225	
	6,4	25,6	32,6	1.068	5,73	127	168	2.138	254	
	7,1	28,2	38,0	1.170	5,70	139	185	2.340	278	
	8,0	31,6	40,3	1.297	5,67	154	208	2.595	308	
	8,8	34,6	44,1	1.407	5,65	167	224	2.813	334	
168,3	10,0	39,0	49,7	1.584	5,61	186	251	3.128	372	0,529
	11,0	42,7	54,4	1.689	5,57	201	273	3.379	402	
	12,5	48,0	61,2	1,868	5,53	222	304	3.737	444	
	14,2	54,0	68,7	2.058	5,47	245	338	4.116	489	
	16,0	60,1	76,6	2,244	5,41	267	372	4.488	533	
	17,5	65,1	82,9	2.388	5,37	284	400	4.777	568	
	20,0	73,1	93,2	2.608	5,29	310	443	5.216	620	
	6,4	33,6	42,8	2,421	7,52	221	290	4.841	442	
	7,1	37,1	47,3	2.660	7,50	243	319	5.319	486	
	8,0	41,6	53,1	2.960	7,47	270	357	5.919	540	
	8,8	45,6	58,1	3.220	7,44	294	389	6.439	588	
	10,0	51,6	65,7	3,598	7,40	328	438	7.197	657	
	11,0	56,5	71,9	3.904	7,37	356	477	7.807	713	0,688
219,1	12,5	63,7	81,1	4.345	7,32	397	534	8.689	793	
	14,2	71,8	91,4	4.820	7,26	440	507	9.640	880	
	16,0	80,1	102	5.297	7,20	483	661	10.593	967	
	17,5	87,0	111	5.673	7,15	518	713	11.346	1.036	
	20,0	98,2	125	6.261	7,07	572	795	12.523	1.143	
	25,0	120	152	7.298	6,92	666	947	14.507	1.332	

## TERMÔMETRO INFRAVERMELHO

### MODELO: MT-350

#### CARACTERÍSTICAS

- Display: LCD 3 1/2 dígitos, com iluminação
- Tempo de Resposta: 300ms (nominal)
- Indicação de Polaridade: Automática, negativa (-) indicada
- Memória: Leitura Máxima e Mínima
- Indicação de Bateria Fraca: é mostrado quando a tensão da bateria cair abaixo da tensão normal de operação
- Desligamento Automático: Aprox. 10s
- Ambiente de Operação: 0 ~ 50°C, RH < 70%</li>
- Ambiente de Armazenamento: -20°C ~ 60°C, RH < 80%</li>
- Alimentação: Bateria 9V (6LF22, NEDA 1604)
- Consumo de Corrente em Repouso: < 5μA
   <p>Duração da Bateria: Aprox. 9 horas contínuos típico (alcalina, com iluminação e laser)

Conformidade: Padrão CE

- Dimensões: 148(A) x 105(L) x 42(P) mm
- Peso: 157g (com bateria)



Este instrumento para medir temperatura sem contato, por exemplo em locais de difícil acesso, com altas temperaturas, em peças ou partes em movimento, ou em locais com impossibilidade de acesso por motivos de segurança ou higiene.

#### ELÉTRICA

- Emissividade: Pré ajustado em 0.95
- Resposta Espectral: 6 ~ 14μm
- Elemento Detetor: Termo pilha
- Lente Ótica: Lente Fresnel
- Relação entre Distância do Objeto e Área de Medição: 10:1
- Mira: 1 Marcador Laser < 1mW</li>

#### **TEMPERATURA**

- Faixa: -30°C ~ 550°C ou -22°F ~ 1022°F
- Precisão: -30°C ~ 100°C ± 2°C
   -22°F ~ 212°F ±4°F

101°C ~ 550°C ± 2% Leitura

213°F ~ 1022°F ± 2% Leitura

 Resolução: 0.5°C / 1°C Automático ou 1°F Coeficiente de Temperatura: ±0.2% Leit. ou ±0.2°C/±0.36°F (o que for maior para < 18°C/ 64.4°F ou > 28°C/82.4°F)

#### **ACESSÓRIOS**

- Manual de Instruções
- 2. Bateria 9V (6LF22, NEDA 1604)
- 3. Capa Protetora

#### ACESSÓRIOS OPCIONAIS/REPOSIÇÃO

Entre em contato conosco para obter peças de substituição, e acessórios opcionais para seu instrumento de medição.

Utilize sempre acessórios originais Minipa.













Especificações sujeitas a alterações sem prévio aviso. Figuras meramente ilustrativas.

Anexo 8: Tabela de Propriedades da Água em Função da Temperatura

576 Fundamentos da Termodinâmica Tabela B.1 — Propriedades termodinâmicas da água Água saturada: tabela em função da temperatura Volume especifico Energia interna Entalpia Entropia  $(m^3/kg)$ (kJ/kg) (kJ/kg) (kJ/kg K) Temp. Pressão Liquido Vapor Liquido Vapor Liquido Vapor Liquido Vapor Evap. Evap. Evap. °C kPa sat. sat. sat. sat. Т P V, U<sub>v</sub> h h h, ν'n щ  $u_{lr}$ Sj  $s_{i_{V}}$ 5, 0,001000 206,132 0,01 0,6113 0,00 2375,33 2375,33 0,00 2501,35 2501,35 0,0000 9,1562 9,1562 5 0,8721 0,001000 147,118 20,97 2361,27 2382,24 20,98 2489,57 2510,54 0,0761 8,9496 9.0257 2519,74 106,377 41,99 2347,16 2389,15 41,99 2477,75 8,7498 8,9007 10 1,2276 0,001000 0,1510 0,001001 77,925 62,98 2333,06 2396,04 62,98 2465,93 2528,91 0,2245 15 1,705 8,5569 8,7813 20 2,339 0,001002 57,7897 83,94 2318,98 2402,91 83,94 2454,12 2538,06 0,2966 8,3706 8,6671 3,169 0,001003 43,3593 104,86 2304,90 2409,76 104,87 2442,30 2547,17 0,3673 8,1905 8,5579 25 8,4533 30 0,001004 32,8972 125,77 2290,81 2416,58 125,77 2430,48 2556,25 0,4369 8,0164 4,246 25,2158 146,65 2276,71 2418,62 2585.28 7,8478 5,628 0,001006 2423,36 146,66 0,5052 8,3530 35 40 7,384 0,001008 19,5229 167,53 2262,57 2430,11 167,54 2406,72 2574,26 0,5724 7,6845 8,2569 45 9,593 0,001010 15,2581 188,41 2248,40 2436,81 188,42 2394,77 2583,19 0,6386 7,5261 8,1647 12,0318 209,30 2234,17 2443,47 209,31 2382,75 50 12,350 0,001012 2592,06 0,7037 7,3725 8,0762 0,001015 230,19 2219,89 2450,08 230,20 2370,66 2600,86 0,7679 7,2234 7,9912 15,758 9,56835 60 19,941 0,001017 7,67071 251,09 2205,54 2456,63 251,11 2358,48 2609,59 0,8311 7,0784 7,9095 272,00 2191,12 2346,21 25,03 0,001020 6,19656 2463,12 272,03 2618,24 0,8934 6,9375 7,8309 Вħ 31,19 292,93 2176,62 2469,55 292,96 2333,85 2626,80 6,8004 70 0,001023 5,04217 0,9548 7,7552 75 38,58 0,001026 4,13123 313,87 2162,03 2475,91 313,91 2321,37 2635,28 1,0154 6,6670 7,6824 80 47,39 0,001029 3,40715 334,84 2147,36 2482,19 334,88 2308,77 2643,66 1,0752 6,5369 7,6121 7,5444 355,82 2132,58 2488,40 2651,93 R5 57,83 0,001032 2,82757 355,88 2296,05 1,1342 6,4102 2117,70 90 70,14 0,001036 2,36056 376,82 2494,52 376,90 2283,19 2660,09 1,1924 6,2866 7,4790 2102,70 95 84,55 0,001040 1,98186 397,86 2500,56 397,94 2270,19 2668,13 1,2500 6,1659 7,4158 100 418,91 2087,58 2257,03 101,3 0,001044 1,67290 2506,50 419,02 2676,05 1,3068 6,0480 7,3548 440,00 2072.34 105 120,8 0.001047 1,41936 2512,34 440,13 2243,70 2683,83 1,3629 5,9328 7,2958 110 143,3 0,001052 1,21014 461,12 2056,96 2518,09 461,27 2230,20 2691,47 1,4184 5,8202 7,2386 115 169,1 0,001056 1,03658 482,28 2041,44 2523,72 482,46 2216,50 2698,96 1,4733 5,7100 7,1832 2025,76 120 198,5 0,001060 0,89186 503,48 2529,24 503,69 2202,61 2706,30 1,5275 5,6020 7,1295 524,72 2009,91 232,1 0,001065 0,77059 2534,63 524,96 2188,50 2713,46 1,5B12 5,4962 7,0774 125 0,66850 546,00 1993,90 2539,90 548,29 2174,16 2720,46 1,6343 130 270,1 0,001070 5,3925 7,0269 567,34 1977,69 135 313,0 0.001075 0,58217 2545,03 567,67 2159,59 2727,26 1,6869 5,2907 6,9777 140 361,3 0,001080 0,50885 588,72 1961,30 2550,02 589,11 2144,75 2733,87 1,7390 5,1908 6,9298 0,44632 610,16 1944,69 5,0926 6,8832 145 415,4 0,001085 2554,86 610,61 2129,65 2740,26 1,7906 631,66 1927,87 475,9 0,001090 0,39278 2559,54 632,18 2114,26 2746,44 1,8417 4,9960 6,8378 150 155 543,1 0,001096 0,34676 653,23 1910,82 2564,04 653,82 2098,56 2752,39 1,8924 4,9010 6,7934 0,001102 0,30706 674,85 1893,52 2568,37 675,53 2082,55 2758,09 1,9426 4,8075 6,7501 160 617,8 700,5 696,55 1875,97 2572,51 1,9924 4,7153 6,7078 165 0,001108 0,27269 697,32 2066,20 2763,53 4,B244 6,6663 1858,14 170 791,7 0,001114 0,24283 718,31 2576,46 719,20 2049,50 2768,70 2,0418 1840,03 175 892,0 0,001121 0,21680 740,16 2580,19 741,16 2032,42 2773,58 2,0909 4,5347 6,6256

1002,2

180

0,001127

762,08

0,19405

1821,62

2583,70

2014,96

2778,16

2,1395

4,4461

6,5857

763,21

Anexo 9: Tabela de Propriedades da Água em função da Temperatura

		continuação tabela em		temperat	ura		Apê	ndice B =	-Tabelas 1	ermodinā	micas	57	
ngua s	aturaua.	Volume es (m³/	specifico		ergia inte (kJ/kg)	rna		Entalpia (kJ/kg)			Entropia (kJ/kg K)		
Temp.	Pressão kPa	Líquido sat.	Vapor sat.	Liquido sat.	Evap.	Vapor sat.	Liquido sat.	Evap.	Vapor sat.	Liquido sat.	Evap.	Vapo sat.	
T	P	V <sub>f</sub>	V <sub>v</sub>	u <sub>f</sub>	u <sub>h</sub> ,	Щ	h	h <sub>b</sub> ,	h <sub>v</sub>	Sj	s <sub>k</sub>	S	
185	1122,7	0,001134	0,17409	784,08	1802,90	2586,98	785,36	1997,07	2782,43	2,1878	4,3586	6,546	
190	1254,4	0,001141	0,15654	806,17	1783,84	2590,01	807,61	1978,76	2786,37	2,2358	4,2720	6,507	
195	1397,8	0,001149	0,14105	828,36	1764,43	2592,79	829,96	1959,99	2789,96	2,2835	4,1863	6,469	
200	1553,8	0,001156	0,12736	850,64	1744,66	2595,29	852,43	1940,75	2793,18	2,3308	4,1014	6,432	
205	1723,0	0,001164	0,11521	873,02	1724,49	2597,52	875,03	1921,00	2796,03	2,3779	4,0172	6,395	
210	1906,3	0,001173	0,10441	895,51	1703,93	2599,44	897,75	1900,73	2798,48	2,4247	3,9337	6,358	
215	2104,2	0,001181	0,09479	918,12	1682,94	2601,06	920,61	1879,91	2800,51	2,4713	3,8507	6,322	
220	2317,8	0,001190	0,08619	940,85	1661,49	2602,35	943,61	1858,51	2802,12	2,5177	3,7683	6,286	
225	2547,7	0,001199	0,07849	963,72	1639,58	2603,30	966,77	1836,50	2803,27	2,5639	3,6863	6,250	
230	2794,9	0,001209	0,07158	986,72	1617,17	2603,89	990,10	1813,85	2803,95	2,6099	3,6047	6,214	
235	3060,1	0,001219	0,06536	1009,88	1594,24	2604,11	1013,61	1790,53	2804,13	2,6557	3,5233	6,179	
240	3344,2	0,001229	0,05976	1033,19	1570,75	2603,95	1037,31	1766,50	2803,81	2,7015	3,4422	6,143	
245	3648,2	0,001240	0,05470	1056,69	1546,68	2603,37	1061,21	1741,73	2802,95	2,7471	3,3612	6,108	
250	3973,0	0,001251	0,05013	1080,37	1522,00	2602,37	1085,34	1716,18	2801,52	2,7927	3,2802	6,072	
255	4319,5	0,001263	0,04598	1104,26	1496,66	2600,93	1109,72	1689,80	2799,51	2,8382	3,1992	6,037	
260	4688,6	0,001276	0,04220	1128,37	1470,64	2599,01	1134,35	1662,54	2796,89	2,8837	3,1181	6,001	
265	5081,3	0,001289	0,03877	1152,72	1443,87	2596,60	1159,27	1634,34	2793,61	2,9293	3,0368	5,968	
270	5498,7	0,001302	0.03564	1177,33	1416,33	2593,66	1184,49	1605,16	2789,65	2,9750	2,9551	5,930	
275	5941,8	0,001317	0,03279	1202,23	1387,94	2590,17	1210,05	1574,92	2784,97	3,0208	2,8730	5,893	
280	6411,7	0,001332	0,03017	1227,43	1358,66	2586,09	1235,97	1543,55	2779,53	3,0667	2,7903	5,857	
285	6909,4	0,001348	0.02777	1252,98	1328,41	2581,38	1262,29	1510.97	2773,27	3,1129	2,7069	5,819	
290	7436,0	0,001366	0,02557	1278,89	1297,11	2575,99	1289,04	1477,08	2766,13	3,1593	2,6227	5,782	
295	7992,8	0,001384	0,02354	1305,21		2569,87	1316,27	1441,78		3,2061	2,5375	5,743	
300	8581,0	0,001404	0,02167	1331,97	1230,99	2562,96	1344,01	1404,93	2748,94	3,2533	2,4511	5,704	
305	9201,8	0,001425	0,01995	1359,22	1195,94	2555,16	1372,33	1366,38	2738,72	3,3009	2,3633	5,664	
310	9856,6	0,001447	0,01835	1387,03	1159,37	2546,40	1401,29	1325,97	2727,27	3,3492	2,2737	5,622	
315	10547	0,001472	0,01687	1415,44	1121,11	2536,55	1430,97	1283,48	2714,44	3,3981	2,1821	5,580	
320	11274	0,001499	0,01549	1444,55	1080,93	2525,48	1461,45	1238,64	2700,08	3,4479	2,0882	5,536	
325	12040	0,001528	0,01420	1474,44	1038,57	2513,01	1492,84	1191,13	2683,97	3,4987	1,9913	5,490	
330	12845	0,001561	0,01300	1505,24	993,66	2498,91	1525,29	1140,56	2665,85	3,5506	1,8909	5,441	
335	13694	0,001597	0,01186	1537,11	945,77	2482,88	1558,98	1086,37	2645,35	3,6040	1,7863	5,390	
340	14586	0,001638	0,01080	1570,26	894,26	2464,53	1594,15	1027,86	2622,01	3,6593	1,6763	5,335	
345	15525	0,001685	0,00978	1605,01	838,29	2443,30	1631,17	964,02	2595,19	3,7169	1,5594	5,276	
350	16514	0,001740	0,00881	1641,81	776,58	2418,39	1670,54	893,38	2563,92	3,7776	1,4336	5,211	
355	17554	0,001740	0,00787	1681,41	707,11	2388,52	1713,13	813,59	2526,72	3,8427	1,2951	5,137	
360	18651	0,001892	0,00767	1725,19	626,29	2351,47	1760,48	720,52	2481,00	3,9146	1,1379	5,052	
365	19807	0,002011	0,00599	1776,13	526,54	2302,67	1815,96	605,44	2421,40	3,9983	0,9487	4,947	
370	21028	0,002213	0,00493	1843,84	384,69	2228,53	1890,37	441,75	2332,12	4,1104	0,6868	4,797	
374,1	22089	0,002213	0,00485	2029,58	0,00	2029,58	2099,26	0,00	2099,26	4,1104	0,0000	4,797	

Anexo 10: Tabela de Propriedades da Água em função da Pressão

578	Funda	imentos d	la Termodir	nâmica								
Tabela		tabala an	ı função da									
rigua sa	turaua.		specifico	_	ergia inte	rna		Entalpia			Entropia	
		(m³	/kg)		(kJ/kg)			(kJ/kg)			(kJ/kg K)	
Pressão kPa	Temp.	Liquido sat.	Vapor sat.	Liquido sat.	Evap.	Vapor sat.	Liquido sat.	Evap.	Vapor sat.	Liquido sat.	Evap.	Vapor sat.
P	T	Vy	$V_{\nu}$	щ	Ulv	Uv	h	hlv	h <sub>v</sub>	Sį	Sir	Sy
0,6113	0,01	0,001000	206,132	0	2375,3	2375,3	0,00	2501,30	2501,30	0,0000	9,1562	9,1562
1	6,98	0,001000	129,20802	29,29	2355,69	2384,98	29,29	2484,89	2514,18	0,1059	8,8697	8,9756
1,5	13,03	0,001001	87,98013	54,70	2338,63	2393,32	54,70	2470,59	2525,30	0,1956	8,6322	8,8278
2	17,50	0,001001	67,00385	73,47	2326,02	2399,48	73,47	2460,02	2533,49	0,2607	8,4629	8,7236
2,5	21,08	0,001002	54,25385	88,47	2315,93	2404,40	88,47	2451,56	2540,03	0,3120	8,3311	8,6431
3	24,08	0,001003	45,66502	101,03	2307,48	2408,51	101,03	2444,47	2545,50	0,3545	8,2231	8,5775
4	28,96	0,001004	34,80015	121,44	2293,73	2415,17	121,44	2432,93	2554,37	0,4226	8,0520	8,4746
5	32,88	0,001005	28,19251	137,79	2282,70	2420,49	137,79	2423,66	2561,45	0,4763	7,9187	8,3950
7,5	40,29	0,001008	19,23775	168,76	2261,74	2430,50	168,77	2406,02	2574,79	0,5763	7,6751	8,2514
10	45,81	0,001010	14,67355	191,79	2246,10	2437,89	191,81	2392,82	2584,63	0,6492	7,5010	8,150
15	53,97	0,001014	10,02218	225,90	2222,83	2448,73	225,91	2373,14	2599,06	0,7548	7,2536	8,0084
20	60,06	0,001017	7,64937	251,35	2205,36	2456,71	251,38	2358,33	2609,70	0,8319	7,0766	7,908
25	64,97	0,001020	6,20424	271,88	2191,21	2463,08	271,90	2346,29	2618,19	0,8930	6,9383	7,8313
30	69,10	0,001022	5,22918	289,18	2179,22	2468,40	289,21	2336,07	2625,28	0,9439	6,B247	7,768
40	75,87	0,001026	3,99345	317,51	2159,49	2477,00	317,55	2319,19	2636,74	1,0258	6,6441	7,6700
50	81,33	0,001030	3,24034	340,42	2143,43	2483,85	340,47	2305,40	2645,87	1,0910	6,5029	7,593
75	91,77	0,001037	2,21711	394,29	2112,39	2496,67	384,36	2278,59	2662,96	1,2129	6,2434	7,4563
100	99,62	0,001043	1,69400	417,33	2088,72	2506,06	417,44	2258,02	2675,46	1,3025	6,0568	7,359
125	105,99	0,001048	1,37490	444,16	2069,32	2513,48	444,30	2241,05	2685,35	1,3739	5,9104	7,284
150	111,37	0,001053	1,15933	466,92	2052,72	2519,64	467,08	2226,46	2693,54	1,4335	5,7897	7,223
175	116,06	0,001057	1,00363	486,78	2038,12	2524,90	486,97	2213,57	2700,53	1,4848	5,6868	7,1717
200	120,23	0,001061	0,88573	504,47	2025,02	2529,49	504,68	2201,96	2706,63	1,5300	5,5970	7,127
225	124,00	0,001064	0,79325	520,45	2013,10	2533,56	520,69	2191,35	2712,04	1,5705	5,5173	7,0878
250	127,43	0,001067	0,71871	535,08	2002,14	2537,21	535,34	2181,55	2716,89	1,6072	5,4455	7,0526
275	130,60	0,001070	0,65731	548,57	1991,95	2540,53	548,87	2172,42	2721,29	1,6407	5,3801	7,020
300	133,55	0,001073	0,60582	561,13	1982,43	2543,55	561,45	2163,85	2725,30	1,6717	5,3201	6,9918
325	136,30	0,001076	0,56201	572,88	1973,46	2546,34	573,23	2155,76	2728,99	1,7005	5,2646	6,965
350	138,88	0,001079	0,52425	583,93	1964,98	2548,92	584,31	2148,10	2732,40	1,7274	5,2130	6,940
375	141,32	0,001081	0,49137	594,38	1956,93	2551,31	594,79	2140,79	2735,58	1,7527	5,1647	6,917
400	143,63	0,001084	0,46246	604,29	1949,26	2553,55	604,73	2133,81	2738,53	1,7766	5,1193	6,8958
450	147,93	0,001088	0,41398	622,75	1934,87	2557,62	623,24	2120,67	2743,91	1,8206	5,0359	6,856
500	151,86	0,001093	0,37489	639,66	1921,57	2561,23	640,21	2108,47	2748,67	1,8606	4,9606	6,8212
550	155,48	0,001097	0,34268	655,30	1909,17	2564,47	655,91	2097,04	2752,94	1,8972	4,8920	6,783
600	158,85	0,001101	0,31567	669,88	1897,52	2567,40	670,54	2086,26	2756,80	1,9311	4,8789	6,7600
650	162,01	0,001104	0,29268	683,55	1886,51	2570,06	684,26	2076,04	2760,30	1,9627	4,7704	6,7330
700	164,97	0,001108	0,27286	696,43	1876,07	2572,49	697,20	2066,30	2763,50	1,9922	4,7158	6,7080
750	167,77	0,001111	0,25560	708,62	1866,11	2574,73	709,45	2056,89	2766,43	2,0199	4,6647	6,6846
800	170,43	0,001115	0,24043	720,20	1856,58	2576,79	721,10	2048,04	2769,13	2,0461	4,6166	6,6627

Anexo 11: Tabela de Propriedades da Água em função da Pressão

		continuação tabela em		pressão								
		Volume es (m³/		En	ergia inte (kJ/kg)	rna		Entalpia (kJ/kg)			Entropia (kJ/kg K)	
Pressão kPa	Temp.	Líquido sat.	Vapor sat.	Liquido sat.	Evap.	Vapor sat.	Liquido sat.	Evap.	Vapor sat.	Liquido sat.	Evap.	Vapor sat.
P	Т	V <sub>f</sub>	V <sub>v</sub>	u <sub>l</sub>	u <sub>le</sub> .	Щ	hr	h <sub>b</sub> ,	h,	Sj	s <sub>k</sub>	S <sub>v</sub>
850	172,96	0,001118	0,22698	731,25	1847,45	2578,69	732,20	2039,43	0,2771,63	2,0709	4,5711	6,6421
900	175,38	0,001121	0,21497	741,81	1838,65	2580,46	742,82	2031,12	2773,94	2,0946	4,5280	6,6225
950	177,69	0,001124	0,20419	751,94	1830,17	2582,11	753,00	2023,08	2776,08	2,1171	4,4869	6,604
1000	179,91	0,001127	0,19444	761,67	1821,97	2583,64	762,79	2015,29	2778,08	2,1386	4,4478	6,586
1100	184,09	0,001133	0,17753	780,08	1806,32	2586,40	781,32	2000,36	2781,68	2,1791	4,3744	6,553
1200	187,99	0,001139	0,16333	797,27	1791,55	2588,82	798,64	1986,19	2784,82	2,2165	4,3067	6,523
1300	191,64	0,001144	0,15125	813,42	1777,53	2590,95	814,91	1972,67	2787,58	2,2514	4,2438	6,495
1400	195,07	0,001149	0,14084	828,68	1764,15	2592,83	830,29	1959,72	2790,00	2,2842	4,1850	6,469
1500	198,32	0,001154	0,13177	843,14	1751,30	2594,50	844,87	1947,28	2792,15	2,3150	4,1298	6,444
1750	205,76	0,001166	0,11349	876,44	1721,39	2597,83	878,48	1917,95	2796,43	2,3851	4,0044	6,389
2000	212,42	0,001177	0,09963	906,42	1693,84	2600,26	908,77	1890,74	2799,51	2,4473	3,8935	6,340
2250	218,45	0.001187	0.08875	933,81	1668.18	2601,98	936,48	1865,19	2801,67	2,5034	3,7938	6,297
2500	223,99	0,001197	0,07998	959,09	1644,04	2603,13	962,09	1840,98	2803,07	2,5546	3,7028	6,257
2750	229,12	0,001207	0,07275	982,65	1621,16	2603,81	985,97	1817,89	2803,86	2,6018	3,6190	6,220
3000	233,90	0,001216	0.06668	1004,76	1599,34	2604,10	1008,41	1795,73	2804,14	2,6456	3,5412	6,186
3250	238.38	0.001226	0.06152	1025,62	1578,43	2604,04	1029,60	1774,37	2803,97	2,6866	3,4685	6,155
3500	242,60	0,001235	0,05707	1045,41	1558,29	2603,70	1049,73	1753,70	2803,43	2,7252	3,4000	6,125
4000	250,40	0,001252	0,04978	1082,28	1519,99	2602,27	1087,29	1714,09	2801,38	2,7963	3,2737	6,070
5000	263,99	0,001286	0.03944	1147,78	1449,34	2597,12	1154,21	1640,12	2794,33	2,9201	3,0532	5,973
6000	275,64	0,001319	0,03244	1205,41	1384,27	2589,69	1213,32	1571,00	2784,33	3,0266	2,8625	5,889
7000	285,88	0,001351	0,02737	1257,51	1322,97	2580,48	1266,97	1505,10	2772,07	3,1210	2,6922	5,813
8000	295,06	0,001384	0,02352	1305,54	1264,25	2569,79	1316,61	1441,33	2757,94	3,2067	2,5365	5,743
9000	303,40	0,001418	0,02048	1350,47	1207,28	2557,75	1363,23	1378,88	2742,11	3,2857	2,3915	5,677
10000	311,06	0,001452	0,01803	1393,00	1151,40	2544,41	1407,53	1317,14	2724,67	3,3595	2,2545	5,614
11000	318,15	0,001489	0,01599	1433,68	1096,06	2529,74	1450,05	1255,55	2705,60	3,4294	2,1233	5,552
12000	324,75	0,001527	0,01426	1472,92	1040,76	2513,67	1491,24	1193,59	2684,83	3,4961	1,9962	5,492
13000	330,93	0,001567	0,01278	1511,09	984,99	2496,08	1531,46	1130,76	2662,22	3,5604	1,8718	5,432
14000	336,75	0,001611	0,01149	1548,53	928,23	2476,76	1571,08	1066,47	2637,55	3,6231	1,7485	5,371
15000	342,24	0,001658	0,01034	1585,58	869,85	2455,43	1610,45	1000,04	2610,49	3,6847	1,6250	5,309
16000	347,43	0,001711	0,00931	1622,63	809,07	2431,70	1650,00	930,59	2580,59	3,7460	1,4995	5,245
17000	352,37	0,001770	0,00836	1660,16	744,80	2404,96	1690,25	856,90	2547,15	3,8078	1,3698	5,177
18000	357,06	0,001840	0,00749	1698,86	675,42	2374,28	1731,97	777,13	2509,09	3,8713	1,2330	5,104
19000	361,54	0,001924	0,00666	1739,87	598,18	2338,05	1776,43	688,11	2464,54	3,9387	1,0841	5,022
20000	365,81	0,002035	0,00583	1785,47	507,58	2293,05	1826,18	583,56	2409,74	4,0137	0,9132	4,926
21000	369,89	0,002206	0,00495	1841,97	388,74	2230,71	1888,30	446,42	2334,72	4,1073	0,6942	4,801
22000	373,80	0,002908	0,00353	1973,16	108,24	2081,39	2034,92	124,04	2158,97	4,3307	0,1917	4,522
22089	374,14	0,003155	0,00315	2029,58	0,00	2029,58	2099,26	0,00	2099,26	4,4297	0,0000	4,429

Anexo 12: Tabela da Propriedades do Ar

			Apêndice A -	Propriedades Ger	rais
ELA A.7 iedades termos	lināmicas do ar (gás	ideal; pressão de ref	erência para a entropi:	a é 0,1 MPa ou 1 ba	ar)
T[K]	u kJ/kg	h kJ/kg	s <sup>0</sup> ₁ kJ/kg × K	P,	V <sub>2</sub> .
200	142,77	200,17	6,46260	0,2703	493,47
220	157,07	220,22	6,55812	0,3770	389,15
240	171,38	240,27	6,64535	0,5109	313,27
260	185,70	260,32	6,72562	0,6757	256,58
280	200,02	280,39	6,79998	0,8756	213,26
290	207,02	290,43	6,83521	0,9899	195,36
298,15	213,04	298,62	6,86305	1,0907	182,29
300	214,36	300,47	6,86926	1,1146	179,49
320	228,73	320,58	6,93413	1,3972	152,73
340	243,11	340,70	6,99515	1,7281	131,20
360	257,53	360,86	7,05276	2,1123	113,65
380	271,99	381,06	7,10735	2,5548	99,188
400	286,49	401,30	7,15926	3,0612	87,137
420	301,04	421,59	7,20875	3,6373	77,003
440	315,64	441,94	7,25607	4,2897	68,409
460	330,31	462,34	7,30142	5,0233	61,066
480	345,04	482,81	7,34499	5,8466	54,748
500	359,84	503,36	7,38692	6,7663	49,278
520	374,73	523,98	7,42736	7,7900	44,514
540	389,69	544,69	7,46642	8,9257	40,344
560	404,74	565,47	7,50422	10,182	36,676
580	419,87	586,35	7,54084	11,568	33,436
600	435,10	607,32	7,57638	13,092	30,561
620	450,42	628,38	7,61090	14,766	28,001
640	465,83	649,53	7,64448	16,598	25,713
660	481,34	670,78	7,67717	18,600	23,662
680	496,94	692,12	7,70903	20,784	21,818
700	512,64	713,56	7,74010	23,160	20,155
720	528,44	735,10	7,77044	25,742	18,652
740	544,33	756,73	7,80008	28,542	17,289
760	580,32	778,46	7,82905	31,573	16,052
780	576,40	800,28	7,85740	34,851	14,925
800	592,58	822,20	7,88514	38,388	13,897
850	633,42	877,40	7,95207	48,468	11,695
900	674,82	933,15	8,01581	60,520	9,9170
950	716,76	989,44	8,07667	74,815	8,4677
1000	759,19	1046,22	8,13493	91,651	7,2760
1050	802,10	1103,48	8,19081	111,35	6,2885

Anexo 13: Tabela de Propriedades do Vapor d'água

Tabelas	le proprieda	Tabelas de propriedades do vapor d'água	d'água											
Unidades $P = Volum$	Unidades P = Volume específico (m³/kg)	3/kg)	$\hat{U} = E$	nergia interna	$ ilde{ heta}=$ Energia interna especifica (kj/kg)	₩ =	Entalpía es	$\hat{H} = \text{Entalpia específica (kJ/kg)}$	<b>3</b>	Š	= Entropia e	\$ = Entropia especifica [k]/(kg·K)]	[kg·K]]	
Tabela 1. V.	apor saturado	Tabela 1. Vapor saturado - Tabela de temperatura.	peratura.											
T/°C	T/K	P/bar	1.d	$\Delta_{\rm vap} \hat{V}$	۸۵	O.r.	$\Delta_{\rm vap} \hat{U}$	ω	₽F	$\Delta_{\rm vap} \hat{H}$	ĤΛ	S.r.	Avap\$	S*V
0	273,15	0,006112	0,001000	206,1	206,1	-0,0422	2374,9	2374,9	-0,0416	2500,9	2500,9	-0,000155	9,1559	9,1558
1,0,0	274.15	0.006571	0.001000	192.4	192.4	4.176	2372.1	23763	4.177	2498.6	2502.7	0.01526	9,1138	9,1333
2	275,15	0,007060	0,001000	179,8	179,8	8,391	2369,3	2377,7	8,392	2496,2	2504,6	0,03061	9,0721	9,1027
m	276,15	0,007581	0,001000	168,0	168,0	12,60	2366,4	2379,0	12,60	2493,8	2506,4	0,04589	9080'6	9,0765
4 1	277,15	0,008135	0,001000	157,1	157,1	16,81	2363,6	2380,4	16,81	2491,4	2508,2	0,06110	8,9895	90206
n ç	278,15	0,008726	0,001000	147,0	147,0	21,02	2360,8	2381,8	21,02	2489,1	2510,1	0,07625	8,9486	9,0249
15	288.15	0.01706	0.001000	77.88	77.88	62.98	2332.5	2395.5	42,02	2465.4	2528.4	0.2245	8.5559	8.7804
20	293,15	0,02339	0,001002	57,76	57,76	83,92	2318,4	2402,4	83,92	2453,5	2537,5	0,2965	8,3696	8,6661
25	298,15	0,03170	0,001003	43,34	43,34	104,8	2304,3	2409,2	104,8	2441,7	2546,5	0,3673	8,1895	8,5568
30	303,15	0,04247	0,001004	32,88	32,88	125,7	2290,2	2415,9	125,7	2429,8	2555,6	0,4368	8,0153	8,4521
32	308,15	0,05629	0,001006	25,21	25,21	146,6	2276,1	2422,7	146,6	2417,9	2564,6	0,5052	7,8467	8,3518
40	313,15	0,07384	0,001008	19,52	19,52	167,5	2261,9	2429,4	167,5	2406,0	2573,5	0,5724	7,6832	8,2557
45	318,15	0,09594	0,001010	15,25	15,25	188,4	2247,7	2436,1	188,4	2394,0	2582,5	0,6386	7,5248	8,1634
20	323,15	0,1235	0,001012	12,03	12,03	209,3	2233,4	2442,8	209,3	2382,0	2591,3	0,7038	7,3711	8,0749
22	328,15	0,1576	0,001015	9,564	9,565	230,2	2219,1	2449,4	230,2	2369,9	2600,1	0,7680	7,2219	7,9899
9	333,15	0,1995	0,001017	7,667	7,668	251,1	2204,8	2455,9	251,2	2357,7	2608,8	0,8312	7,0770	7,9082
92	338,15	0,2504	0,001020	6,193	6,194	272,1	2190,4	2462,4	272,1	2345,4	2617,5	0,8935	6,9361	7,8296
70	343,15	0,3120	0,001023	5,039	5,040	293,0	2175,9	2468,9	293,0	2333,1	2626,1	0,9550	6,7990	7,7540
8 0	353.15	0,3000	0,001029	3,120	3,405	3349	21467	24816	3349	2308.1	2643.0	1,0754	65356	7,0012
88	358,15	0,5787	0,001032	2,825	2,826	355,9	2131,9	2487,8	355,9	2295,4	2651,3	1,1344	6,4090	7,5434
06	363,15	0,7018	0,001036	2,358	2,359	376,9	2117,1	2494,0	377,0	2282,6	2659,5	1,1927	6,2854	7,4781
92	365,15	0,7568	0,001037	2,197	2,198	385,3	2111,1	2496,4	385,4	2277,4	2662,8	1,2158	6,2368	7,4526
94	367,15	0,8154	0,001039	2,049	2,050	393,7	2105,1	2498,8	393,8	2272,2	2666,0	1,2387	6,1887	7,4275
95	368,15	0,8461	0,001040	1,980	1,981	397,9	2102,1	2500,0	398,0	2269,6	2667,6	1,2502	6,1648	7,4150
96	369,15	0,8777	0,001040	1,913	1,914	402,1	2099,1	2501,2	402,2	2267,0	2669,2	1,2616	6,1411	7,4027
86	371,15	0,9439	0,001042	1,787	1,788	410,6	2093,1	2503,6	410,7	2261,7	2672,4	1,2844	6,0938	7,3782
100	373,15	1,013	0,001043	1,6/1	1,672	419,0	0'1907	2506,0	419,1	2256,5	2675,6	1,3070	6,0471	7,3541
104	377.15	1,168	0.001047	1,464	1,565	435.9	2074.9	2510.7	436.0	2245.9	2681.8	13520	5.9548	7,3068
105	378.15	1.209	0.001047	1417	1418	440.1	20718	2511.9	440.2	22432	2683.4	13632	5.9320	7,2951
106	379,15	1,251	0,001048	1,372	1,373	444,3	2068,8	2513,1	444,4	2240,5	2684,9	1,3743	5,9092	7,2836
108	381,15	1,340	0,001050	1,287	1,288	452,8	2062,6	2515,4	452,9	2235,1	2688,0	1,3965	5,8641	7,2607
110	383,15	1,434	0,001052	1,208	1,209	461,2	2056,5	2517,7	461,4	2229,7	2691,1	1,4187	5,8194	7,2380
115	388,15	1,692	0,001056	1,035	1,036	482,4	2041,0	2523,3	482,6	2216,0	2698,6	1,4735	5,7092	7,1827
120	393,15	1,987	0,001060	0,8902	0,8913	503,6	2025,3	2528,9	503,8	2202,1	2705,9	1,5278	5,6013	7,1291
125	398,15	2,322	0,001065	0692'0	0,7701	524,8	2009,5	2534,3	525,1	2188,0	2713,1	1,5815	5,4955	7,0770
130	403,15	2,703	0,001070	0,6670	0,6681	546,1	1993,4	2539,5	546,4	2173,7	2720,1	1,6346	5,3918	7,0264
135	408,15	3,132	0,001075	0,5807	0,5818	5888	19608	2544,6	589.7	2159,1	27334	1,08/2	5,2900	6,9772
145	41815	4.156	0.001085	0.4449	0.4460	610.2	1944.2	25544	610.7	2129.1	27398	1 7909	5 0917	6.8826
		2001												-

Anexo 14: Tabela de Propriedades do Vapor d'água

T/°C	T/K	P/bar	T/°C T/K P/bar P <sup>L</sup> A <sub>var</sub>	$\Delta_{\rm vap} \rho$	٨٥	Û,	$A_{\rm vap} \hat{U}$	ω	₩	$\Delta_{\rm vap} \hat{H}$	ĤΛ	\$r.	$\Delta_{\rm vap}$ \$	λŞ
150	423,15	4,761	0,001091	0,3914	0,3925	631,7	1927,3	2559,0	632,3	2113,7	2745,9	1,8420	4,9951	6,8370
155	428,15	5,434	0,001096	0,3454	0,3465	653,3	1910,2	2563,5	623,9	2097,9	2751,8	1,8926	4,9000	6,7926
160	433,15	6,181	0,001102	0,3057	0,3068	6,449	1892,9	2567,8	9'5'9	2081,9	2757,4	1,9428	4,8063	6,7491
165	438,15	2,008	0,001108	0,2714	0,2725	9'969	1875,3	2571,9	697,3	2065,4	2762,8	1,9926	4,7140	9902'9
170	443,15	7,921	0,001114	0,2415	0,2426	718,3	1857,4	2575,7	719,2	2048,7	2767,9	2,0419	4,6230	6,6649
175	448,15	8,924	0,001121	0,2155	0,2166	740,2	1839,2	2579,4	741,2	2031,6	2772,7	2,0909	4,5332	6,6241
180	453,15	10,03	0,001127	0,1927	0,1939	762,1	1820,8	2582,8	763,2	2014,0	2777,2	2,1395	4,4445	6,5841
185	458,15	11,23	0,001134	0,1728	0,1739	784,1	1802,0	2586,1	785,3	1996,1	2781,4	2,1878	4,3569	6,5447
190	463,15	12,55	0,001141	0,1552	0,1564	806,1	1782,9	2589,1	902'6	1977,7	2785,3	2,2358	4,2702	6,5060
195	468,15	13,99	0,001149	0,1398	0,1409	828,3	1763,5	2591,8	829,9	1958,9	2788,9	2,2834	4,1844	6,4679
200	473,15	15,55	0,001157	0,1261	0,1272	9'058	1743,7	2594,3	852,4	1939,7	2792,1	2,3308	4,0995	6,4303
205	478,15	17,24	0,001164	0,1139	0,1151	873,0	1723,5	2596,5	875,0	1919,9	2794,9	2,3779	4,0153	6,3932
210	483,15	19,07	0,001173	0,1031	0,1043	895,5	1702,9	2598,4	897.7	1899,6	2797.4	2,4248	3,9318	6,3565
215	488,15	21,06	0,001181	0,09351	0,09469	918,1	1681,9	2600,0	920,6	1878,8	2799,4	2,4714	3,8488	6,3202
220	493.15	23.19	0.001190	0.08491	0.08610	940.9	1660.5	2601.4	943.6	1857.4	2801.1	2,5178	3.7664	6.2842
225	498,15	25,49	0,001199	0.07721	0,07841	963,8	1638,6	2602.4	8'996	1835,4	2802,3	2,5641	3,6845	6,2485
230	503,15	27,97	0,001209	0,07030	0,07151	8'986	1616,2	2603,0	990,2	1812,8	2803,0	2,6102	3,6029	6,2131
235	508,15	30,62	0,001219	0,06408	0,06530	1010,0	1593,3	2603,3	1013,8	1789,5	2803,3	2,6561	3,5216	6,1777
240	513,15	33,47	0,001229	0,05848	0,05971	1033,4	1569,8	2603,2	1037,5	1765,5	2803,1	2,7019	3,4406	6,1425
245	518,15	36,51	0.001240	0.05342	0,05466	1057.0	1545,8	2602.8	1061.5	1740.8	2802,3	2,7477	3,3597	6,1074
250	523,15	39,76	0,001252	0,04883	600200	1080,7	1521,2	2601,9	1085,7	1715,3	2801,0	2,7934	3,2788	6,0722
255	528,15	43,23	0,001264	0,04468	0,04594	1104,7	1495,9	2600,5	1110,1	1689,0	2799,1	2,8391	3,1980	6,0370
260	533,15	46,92	0,001276	0,04090	0,04218	1128,8	1469,9	2598,8	1134,8	1661,8	2796,6	2,8847	3,1170	6,0017
265	538,15	50,85	0,001289	0,03746	0,03875	1153,3	1443,2	2596,5	1159,8	1633,7	2793,5	2,9304	3,0358	5,9662
270	543,15	55,03	0,001303	0,03432	0,03562	1177,9	1415,7	2593,7	1185,1	1604,6	2789,7	2,9762	2,9542	5,9304
275	548,15	59,46	0,001318	0,03145	0,03277	1202,9	1387,4	2590,3	1210,7	1574,4	2785,1	3,0221	2,8723	5,8943
280	553,15	64,16	0,001333	0,02882	0,03015	1228,1	1358,2	2586,3	1236,7	1543,2	2779,8	3,0681	2,7898	5,8578
285	558,15	69,15	0,001349	0,02641	0,02776	1253,7	1328,0	2581,7	1263,0	1510,7	2773,7	3,1143	2,7065	5,8208
290	563,15	74,42	0,001366	0,02419	0,02556	1279,6	1296,8	2576,4	1289,8	1476,8	2766,6	3,1608	2,6225	5,7832
295	568,15	79,99	0,001385	0,02215	0,02353	1306,0	1264,4	2570,4	1317,0	1441,6	2758,6	3,2076	2,5374	5,7449
300	573,15	82,88	0,001404	0,02026	0,02166	1332,7	1230,8	2563,5	1344,8	1404,8	2749,6	3,2547	2,4510	5,7058
305	578,15	92,09	0,001425	0,01851	0,01994	1359,9	1195,8	2555,8	1373,1	1366,3	2739,4	3,3024	2,3632	2,6656
310	583,15	98,65	0,001448	0,01689	0,01834	1387,7	1159,3	2547,0	1402,0	1325,9	2727,9	3,3506	2,2737	5,6243
315	588,15	105,6	0,001472	0,01538	0,01686	1416,1	1121,1	2537,2	1431,6	1283,4	2715,1	3,3994	2,1822	5,5816
320	593,15	112,8	0,001499	0,01398	0,01548	1445,1	1080,9	2526,0	1462,1	1238,6	2700,7	3,4491	2,0882	5,5373
325	598,15	120,5	0,001528	0,01266	0,01419	1475,0	1038,5	2513,5	1493,4	1191,1	2684,5	3,4997	1,9913	5,4911
330	603,15	128,6	0,001561	0,01142	0,01298	1505,7	963,6	2499,3	1525,7	1140,5	2666,2	3,5516	1,8909	5,4425
335	608,15	137,1	0,001597	0,01026	0,01185	1537,5	945,7	2483,1	1559,3	1086,3	2645,6	3,6048	1,7862	5,3910
340	613,15	146,0	0,001638	0,009146	0,01078	1570,5	894,1	2464,6	1594,4	1027,6	2622,1	3,6599	1,6760	5,3359
345	618,15	155,4	0,001685	0,008085	0,009770	1605,3	837,9	2443,2	1631,4	963,6	2595,0	3,7175	1,5588	5,2763
350	623,15	165,3	0,001740	0,007061	0,008801	1642,1	0'944	2418,1	1670,9	892,7	2563,6	3,7783	1,4326	5,2109
355	628,15	175,7	0,001808	0,006058	998200'0	1681,9	206,3	2388,2	1713,7	812,7	2526,4	3,8438	1,2939	5,1377
360	633,15	186,7	0,001895	0,005050	0,006945	1726,1	625,2	2351,3	1761,5	719,5	2481,0	3,9164	1,1364	5,0527
362	635,15	191,2	0,001937	0,004637	0,006574	1745,6	588,2	2333,8	1782,6	6,929	2459,5	3,9483	1,0657	5,0140
365	638,15	198,2	0,002016	0,003989	0,006004	1777,6	525,3	2303,0	1817,6	604,4	2422,0	4,0011	0,9471	4,9482
368	641,15	205,5	0,002122	0,003276	0,005398	1815,2	448,7	2263,9	1858,8	516,0	2374,8	4,0631	0,8048	4,8679
370	643,15	210,4	0,002222	0,002724	0,004946	1845,9	383,5	4,6777	1892,6	440,9	2333,5	4,1142	0,6855	4,7996
373,946	647,096	720,64	0,003104	0	0,003104	8'8107	0	2018,8	7,1802	0	7,1807	4,4116	0	4,4116

Anexo 15: Tabela de Conversão de Unidades

## **Apêndice**

## Propriedades Gerais



Área (A)	
1 mm <sup>2</sup> = 1,0 × 10 <sup>-6</sup> m <sup>2</sup> 1 m <sup>2</sup> = 10,7669 ft <sup>2</sup>	1 ft <sup>2</sup> = 144 in <sup>2</sup> 1 ft <sup>2</sup> = 0,092903 m <sup>2</sup>
Capacidade térmica ( $C_p$ , $C_p$ , $C$ ), entropia esp	ecifica (s)
1 kJ/(kg × K) = 0,238846 Btu/(lbm × R)	1 Btu/(lbm × R) = 4,1868 kJ/(kg × K)
Coeficiente de transferência de calor (h)	
1 W/( $m^2 \times K$ )= 0,17611 Btu/( $h \times ft^2 \times R$ )	1 Btu/(h × ft <sup>2</sup> × R) = 5,67826 W/( $m^2$ × K)
Comprimento (L)	
1 mm = 0,001 m = 0,1 cm 1 m = 3,28084 ft = 39,370 in	1 in = 0,0254 m 1 ft = 12 in
Condutividade térmica (k)	
1 W/(m x K) = 0,577789 Btu/(h x ft x R)	1 Btu/(h x ft x R) = 1,730735 W/(m x K)
Constante universal dos gases	
R = N <sub>0</sub> k = 8,31451 kJ/kmol × K = 1,98589 kcal/kmol × K = 82,0578 atm × L/kmol × K	$\bar{R}$ = 1.98589 Btu/lbmol × R = 1545,36 lbg × ft/lbmol × R = 0,73024 atm × ft <sup>3</sup> /lbmol × R = 10,7317 (lbg/in <sup>2</sup> ) × ft <sup>3</sup> /lbmol × R
Energia (E, U)	
1 J = 1 N × m = 0,737562 lbf × ft 1 cal (Int.) = 4,1868 J	1 lbf × ft = 1,355818 J = 1,28507 × 10 <sup>-3</sup> Btu 1 Btu (Int.) = 1,055056 kJ = 778,1693 lbf × ft
Energia cinética específica (1/2V2)	
1 m <sup>2</sup> s <sup>2</sup> = 0,001 kJ/kg 1 kJ/kg = 1000 m <sup>2</sup> /s <sup>2</sup>	1 ft <sup>2</sup> /s <sup>2</sup> = 3,9941 × 10 <sup>-5</sup> Btu/lbm 1 Btu/lbm = 25037 ft <sup>2</sup> /s <sup>2</sup>
Energia potencial específica (Zg)	
1 m × $g_{atd}$ = 9,80665 × 10 <sup>-3</sup> kJ/kg = 4,21607 × 10 <sup>-3</sup> Btu/lbm	1 ft × g <sub>and</sub> = 1,0 lbf/lbm = 0,001285 Btu/lbm = 0,002989 kJ/kg
Energia especifica (e, u)	
1 kJ/kg = 0,42992 Btu/lbm	1 Btu/lbm = 2,326 kJ/kg

Anexo 16: Tabela de Conversão de Unidades

58 Fundamento:	da Termodinâmica	
	TABELA A.1 Fatores de Conversão (continuação)	
	Fluxo de calor (por unidade de área)	
	1 W/m <sup>2</sup> = 0.316998 Btu/(h x ft <sup>2</sup> )	1 Btu/(h x ft <sup>2</sup> ) = 3.15459 W/m <sup>2</sup>
	Força (F)	
	1 N = 0,224809 lbf 1 kgf = 9,80665 N	1 lbf = 4,448222 N
	Gravidade	
	g = 9,80665 m/s <sup>2</sup>	g = 32,17405 ft/s²
	Massa (m)	
	1 kg = 2,204623 lbm	1 lbm = 0,453592 kg
	Massa específica (ρ)	
	1 kg/m <sup>3</sup> = 0,06242797 lbm/ft <sup>3</sup>	1 lbm/ft <sup>3</sup> = 16,01846 kg/m <sup>3</sup>
	Momento (Torque, 7)	
	1 N × m = 0,737562 lbm × ft	1 lbm x ft/s = 1,355818 N x m
	Potência (û, Ŵ)	
	1 W = 1 J/s = 0,737562 lbf × ft/s 1 kW = 3412,14 Btu/h 1 hp (métrico) = 0,735499 kW 1 tonelada de refrigeração = 3,51685 kW	1 lbf x ft/s = 1,355818 W = 4,62624 Btu/h 1 Btu/s = 1,055056 kW 1 hp (britânico) = 0,7457 kW 1 tonelada de refrigeração = 12 000 Btu/h
	Pressão (P)	
	1 Pa = 1 N/m <sup>2</sup> 1 bar = 1,0 × 105 Pa = 100 kPa 1 atm = 101,325 kPa	1 lbf × (pol) <sup>2</sup> = 1 lbf × in <sup>2</sup> = 6,894757 kPa 1 atm = 14,69594 lbf × in <sup>2</sup> 1 torr = 1 mm Hg [0 °C]
	Quantidade de movimento (mV)	
	1 kg × m/s = 7,23294 lbm × ft/s = 0,224809 lbf × s	1 lbf $\times$ ft = 0,138256 kg $\times$ m/s
	Temperatura (T)	
	1 K = 1 °C TC = TK = 273,15 TK = TR/1,8	1 R = (5/9) K TF = TR = 459,67 TR = 1,8 TK
	Velocidade (V)	
	1 m/s = 3,6 km/h = 3,28084 ft/s = 2,23694 mi/h 1 km/h = 0,27778 m/s = 0,91134 ft/s = 0,62137 mi/h	1 ft/s = 0,681818 mi/h = 0,3048 m/s = 1,09728 km/h 1 mi/h = 1,46667 ft/s = 0,44704 m/s = 1,609344 km/h
	Volume (V)	
	1 m <sup>3</sup> = 35,3147 ft <sup>3</sup> 1 litro = 0,001 m <sup>3</sup> /kg 1 galão (britânico) = 4,546090 × 10 <sup>-3</sup> m <sup>3</sup>	1 ft <sup>3</sup> = 2,831685 × 10 <sup>-2</sup> m <sup>3</sup> 1 galão (US) = 3,785412 × 10 <sup>-3</sup> m <sup>3</sup>
	Volume específico (v)	
	1 cm³/g = 0,001 m³/kg 1 ft³/lbm = 0,062428 m³/kg	1 m <sup>3</sup> /kg = 16,01846 ft <sup>3</sup> /lbm